

К.А. Лутаенко, И.Е. Волвенко

МАЛЫЙ АТЛАС
ДВУСТВОРЧАТЫХ МОЛЛЮСКОВ
ЗАЛИВА ПЕТРА ВЕЛИКОГО
(ЯПОНСКОЕ МОРЕ)



Владивосток
2017

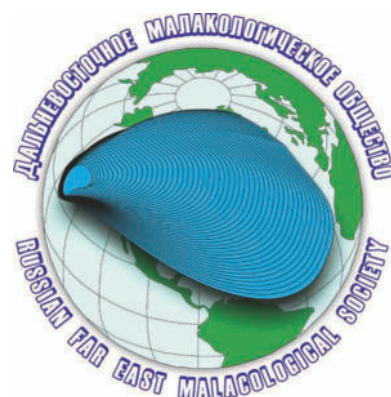
Федеральное агентство научных организаций
Российская академия наук
Дальневосточное отделение
Национальный научный центр морской биологии

Дальневосточный федеральный университет
Учебно-научный музей
Зоологический музей

Дальневосточное малакологическое общество

К.А. Лутаенко, И.Е. Волвенко

**МАЛЫЙ АТЛАС
ДВУСТВОРЧАТЫХ МОЛЛЮСКОВ
ЗАЛИВА ПЕТРА ВЕЛИКОГО
(ЯПОНСКОЕ МОРЕ)**



Владивосток
Дальневосточный федеральный университет
2017

**Federal Agency of Research Organizations
Russian Academy of Sciences**
Far Eastern Branch
National Scientific Center of Marine Biology

Far Eastern Federal University
Science and Educational Museum
Zoological Museum

Russian Far East Malacological Society

Konstantin A. Lutaenko, Irina E. Volvenko

ATLAS
OF COMMON BIVALVE MOLLUSKS
OF PETER THE GREAT BAY
(SEA OF JAPAN)

Vladivostok
Far Eastern Federal University
2017

УДК 594.1(265.54)(084.42)

ББК 28.691(942.4)я61

Л86

*Утверждено к печати Ученым советом
Национального научного центра морской биологии ДВО РАН*

Рецензенты:

Ю.И. Кантор, д-р биол. наук (Институт проблем экологии и эволюции им. А.Н. Северцова РАН, Москва);

Б.И. Сиренко, д-р биол. наук (Зоологический институт РАН, С.-Петербург)

Ответственный редактор академик А.В. Адрианов

Лутаенко, Константин Анатольевич.

Л86 Малый атлас двустворчатых моллюсков залива Петра Великого (Японское море) / К.А. Лутаенко, И.Е. Волвенко ; [отв. ред. А.В. Адрианов]. – Владивосток : Дальневост. федерал. ун-т, 2017. – 140 с.

ISBN 978-5-7444-3980-4

Малый атлас двустворчатых моллюсков залива Петра Великого включает фотоиллюстрации 133 видов из 38 семейств, что составляет более 80% от всей фауны Bivalvia залива. Книга предназначена для быстрого визуального определения обычных видов литорали и сублиторали залива Петра Великого и северной части Японского моря. Атласу предпослано краткое физико-географическое описание залива для понимания условий обитания моллюсков и предпосылок разнообразия фауны, краткие сведения о морфологии раковины и общая характеристика фауны. Приведены список основных книг для дальнейшего чтения и указатель латинских названий видов.

УДК 594.1(265.54)(084.42)

ББК 28.691(942.4)я61

Lutaenko, Konstantin Anatolevich.

Л86 Atlas of Common Bivalve Mollusks of Peter the Great Bay (Sea of Japan) / K.A. Lutaenko and I.E. Volvenko ; [ed. A.V. Adrianov]. – Vladivostok : Far Eastern Federal University, 2017. – 140 p.

ISBN 978-5-7444-3980-4

This atlas of common bivalve mollusks of Peter the Great Bay includes photographic images of 133 species belonging to 38 families constituting more than 80% of the total species richness of bivalves of the bay. The book is intended for a quick visual identification of common intertidal and subtidal bivalve species of Peter the Great Bay and northern Sea of Japan. The atlas is preceded by a brief geographical description of the bay for the purpose of understanding of molluscan habitats and faunal diversity, a brief description of shell characteristics and a general faunal account. A list of books for further reading and index of Latin names are provided.

УДК 594.1(265.54)(084.42)

LBC 28.691(942.4)я61

All rights reserved. No part of this publication may be reproduced or transmitted in any form or by any means, electronic or mechanical, including photocopying, recording or any information storage and retrieval system, without the prior written permission of the copyright owners.

ISBN 978-5-7444-3980-4

© ННЦМБ ДВО РАН, Лутаенко К.А., Волвенко И.Е., 2017

Содержание

Введение	6
Залив Петра Великого	8
Фауна двустворчатых моллюсков залива Петра Великого	17
Двустворчатые моллюски как объект сбора	20
Раковина двустворчатых моллюсков	25
Книги, рекомендованные для дальнейшего чтения	33
Благодарности	34
Атлас двустворчатых моллюсков	35
Список использованной литературы	130
Использованные музейные коллекции для изготовления фотографий моллюсков	133
Указатель видов	136

Введение

Двусторчатые моллюски – одна из самых массовых групп бентоса как в теплых, тропических и субтропических, так и в умеренных и холодных морях. По сравнению с другой обычной группой моллюсков – брюхоногими (*Gastropoda*), их видовое разнообразие не столь велико. Так, каталог моллюсков России содержит 3708 видов и подвидов *Mollusca*, но двусторчатых из них только 874 (морских – 432) [Кантор, Сысоев, 2005; Kantor, Sysoev, 2005]. Моллюски, среди других групп животных, имеют больше всего синонимов и поэтому трудно оценить их мировое видовое разнообразие, но считается, что на Земле обитает всего около 52000 видов, хотя при этом оценки разнятся от 45000 до 130000 видов [Bouchet, 2006]. Современные двусторчатые моллюски мировой фауны представлены 8000–10000 видов, при этом чуть более 1200 видов обитает в пресных водах [Graf, 2013]. К морским двусторчатым моллюскам относятся хорошо известные дальневосточникам мидии, устрицы и гребешки, различные зарывающиеся формы – спизулы, анадары, корбикулы, для которых не существует общепринятых русских названий.

Морские двусторчатые моллюски широко распространены от литорали (приливно-отливной зоны), где они зачастую образуют скопления или плотные поселения, например, тихоокеанские мидии *Mytilus trossulus*, до самых больших глубин моря – абиссали (глубже 3500 м) и ультраабиссали (глубже 6000 м). На мелководьях прибрежной зоны, на глубинах до нескольких десятков метров, сконцентрировано их наибольшее видовое разнообразие и наиболее высоки показатели их обилия, что, наряду с ценными диетическими и вкусовыми качествами, делает их важными промысловыми объектами. Велико значение двусторчатых моллюсков для ученых-биологов, как удобного объекта для экспериментальных, эмбриологических, генетических, физиологических и иных исследований, для стратиграфии и палеонтологии, понимания биogeографических закономерностей. Эти животные составляют зачастую основную биомассу и являются доминантными видами в донных сообществах, которые изучают экологи и гидробиологи.

В последние годы на российском Дальнем Востоке, несмотря на издание в постсоветский период целого ряда цветных иллюстрированных книг по двусторчатым моллюскам и промысловым животным (см. раздел «Книги, рекомендованные для дальнейшего чтения») для разных аудиторий (ученых, промысловиков, студентов), выявился недостаток определителей, атласов и руководств мультифункционального значения, в частности, пригодных для быстрой визуальной идентификации видов. Поэтому мы подготовили этот *малый атлас* для всех целевых групп – от школьников и студентов до научных работников, который может использоваться для **быстрого определения** обычных видов двусторок из залива Петра Великого и вообще северной части Японского моря. Мы сознательно не

Введение

предпосыпаем здесь описания видов, которые можно найти в многочисленной литературе, в первую очередь, в книгах Г.Н. Воловой и О.А. Скарлато [1980] и О.А. Скарлато [1981], однако эта литература не содержит такого количества цветных иллюстраций этих видов. Что немаловажно, в атласе приведены современные названия с учетом изменений в систематике и номенклатуре последних лет. В целом атлас охватывает более 80% (133 вида) от общего числа видов, обитающих в заливе Петра Великого (163 вида) и может с успехом использоваться для определения практически всех видов, живущих в верхней сублиторали (на глубинах до 20–30 м), тогда как иные цветные атласы и книги содержат гораздо более селективный набор видов. Все изображенные экземпляры находятся в коллекциях Зоологического музея Учебного-научного музея Дальневосточного федерального университета (Владивосток) и Музея Национального научного центра морской биологии ДВО РАН (Владивосток).

Залив Петра Великого

Залив Петра Великого (рис. 1) – один из крупнейших заливов Японского моря наряду с такими, как Восточно-Корейский (Корея), Исикари, Тояма и Вакаса (Япония). Протяженность его береговой линии составляет около 1500 км, площадь акватории около 7500 км². Характерным признаком залива является риасовый характер берегов, обусловленный ингрессией моря в долины рек в голоцене, в результате чего образовался ряд глубоко вдающихся в сушу заливов и многочисленных бухт. Разделяющие затопленные межгорные понижения полуострова (например, крупнейший п-ов Муравьева-Амурского) продолжены системами островов, вообще характерными для береговой зоны залива. Наибольшее количество островов, среди которых крупные острова Русский, Попова, Рикорда, Рейнеке, расположено в центральной части залива Петра Великого как продолжение п-ова Муравьева-Амурского; другие крупные острова – Путятина и Аскольд, и остров Фуругельма приурочены, соответственно, к восточной (район залива Стрелок) и юго-западной (южнее залива Посыета) частям залива Петра Великого. Заливы второго порядка можно разделить на глубоко вдающиеся в береговую линию (на 60–70 км) – Амурский и Уссурийский, и менее крупные по размерам заливы Посыета, Стрелок, Восток и Находка. В свою очередь, береговая линия этих заливов осложнена более мелкими бухтами.

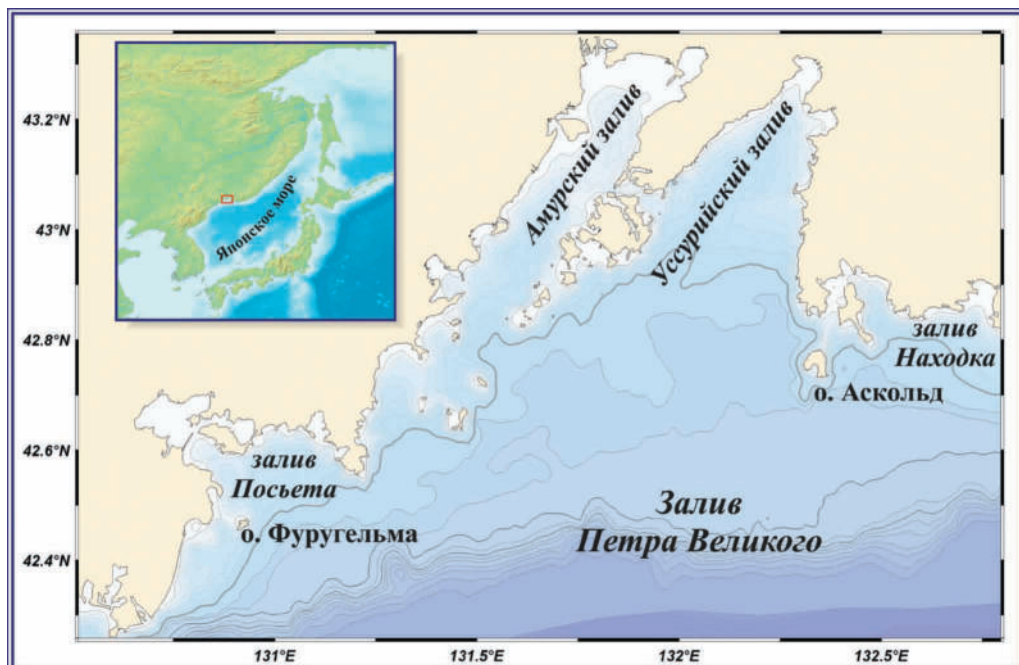


Рис. 1. Карта-схема залива Петра Великого (Японское море).

Залив Петра Великого

Берега залива Петра Великого сложены как высокоустойчивыми кристаллическими и метаморфическими породами, так и менее устойчивыми к абразии и разрушению сцементированными и слабосцементированными осадочными и эфузивными породами. Согласно карте распределения основных типов береговых горных пород, составленной В.А. Мануйловым [1990], наиболее устойчивые породы слагают многие полуострова, мысы и острова, берега подобного типа почти не поддаются абразии. Менее устойчивые песчаники, алевролиты и др., возраст которых варьирует от силура-девона до палеогена, распространены на побережье многих бухт и выровненных участков (рис. 2, 3). Слабосцементированные палеоген-неогеновые алевролиты, аргиллиты и песчаники известны на берегах некоторых полуостровов, и, наконец, рыхлые кайнозойские образования слагают вершины заливов и бухт и приусььевые равнины [Мануйлов, 1990].

Побережье залива Петра Великого в геоморфологическом отношении разделяется на шесть районов [Петренко, 1990]. Посытский район, расположенный в юго-западной части залива, характеризуется сильно изрезанными берегами с многочисленными бухтами (Экспедиции, Новгородская, Троицы, Витязь и др.). Часть из них сформировалась в результате ингресии моря, другие – путем отчленения акваторий аккумулятивными формами. На юге участка расположена обширная аллювиально-морская равнина (Хасанское взморье) с многочисленными озерами, старицами; здесь же находится и крупнейшая южноприморская солоноватая лагуна – Тальми.

Славянский район расположен между полуостровами Гамова и Ломоносова, почти полностью открыт волнам юго-восточного направления и также обладает значительной изрезанностью берега. Южная часть района приурочена к Гамовскому позднепалеозойскому гранитному массиву, что предопределило существование серии бухт с неширокими прислоненными пляжами, разделенными высокими мысами. Напротив, в северной части Славянского района преобладают крупные бухты (Бойсмана, Баклан, Нарва и др.), имеющие в своих вершинах устья крупных водотоков. У мысов развиты абразионные платформы, местами многочисленные кекуры.

Третий, Амурский район, характеризуется затишными гидродинамическими условиями по сравнению с открытыми акваториями залива Петра Великого, и высокими скоростями осадконакопления, поэтому здесь формируются обширные прибрежные равнины.

Четвертый, островной район залива, включающий в себя уже упоминавшиеся острова на продолжении п-ова Муравьева-Амурского, сложен пермскими осадочными сцементированными отложениями и интрузивными породами (граниты, гранодиориты), устойчивыми к абразии. Волновые процессы играют большую роль в формировании островных берегов, как абразионных, так и аккумулятивных.

Уссурийский район характеризуется продольным типом берегов, сложенных палеозойскими и мезозойскими осадочными породами. Здесь распространены активные клифы высотой до нескольких десятков метров, и сопутствующие им

Залив Петра Великого

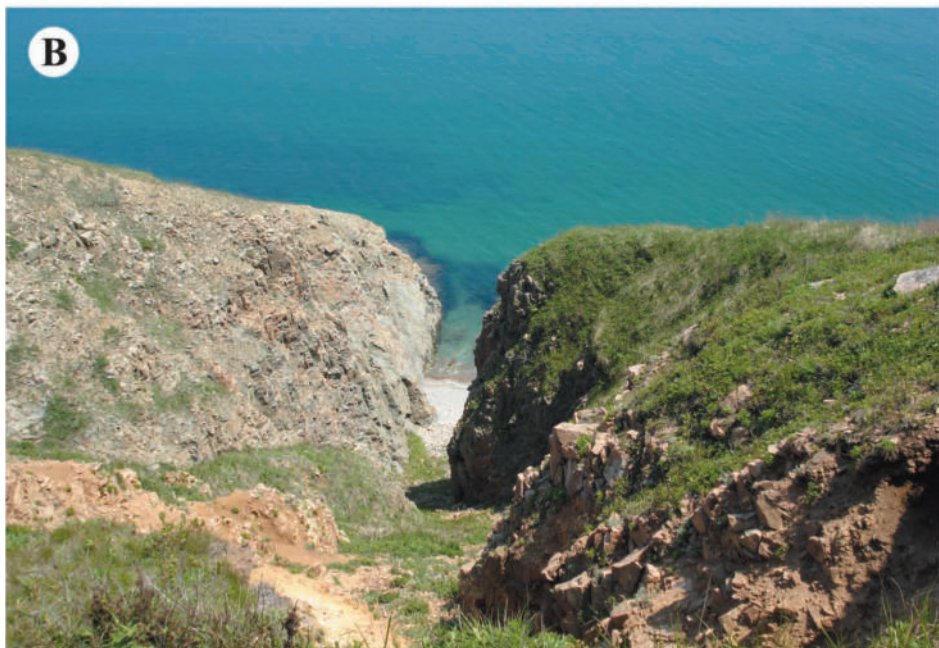


Рис. 2. Скалистое побережье в заливе Петра Великого: залив Восток (**A**) и остров Попова (**B**).
Фото В.Г. Чащиной (**A**), К.А. Лутаенко (**B**).

Залив Петра Великого

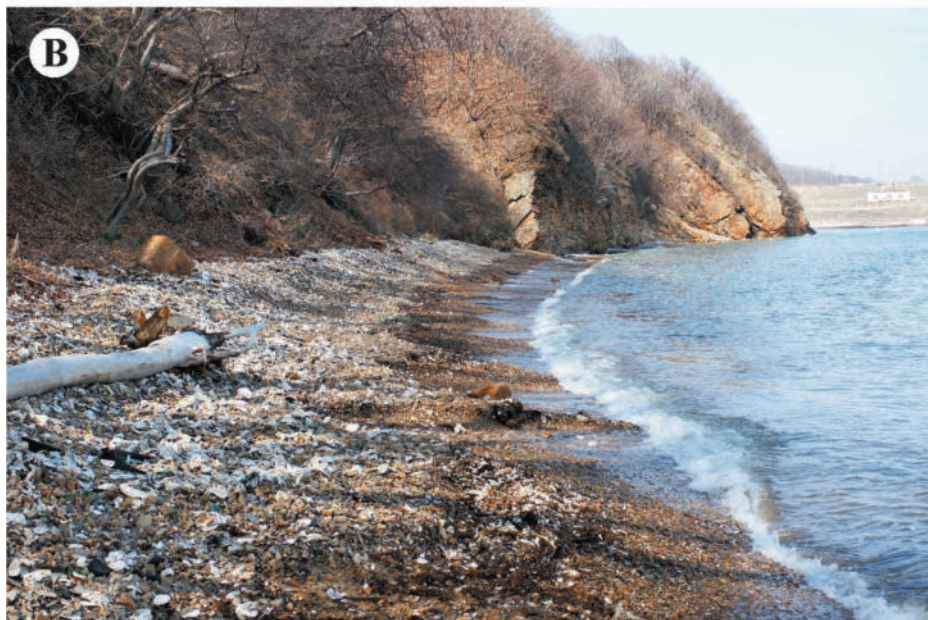


Рис. 3. Скалистые клифы на южном побережье острова Русского (А) и галечно-ракушняковый (устричный) пляж в бухте Десантной Уссурийского залива (В). Фото К.А. Лутаенко (А), И.Е. Волченко (В).

абразионные платформы. Пляжи сложены преимущественно гравийно-галечным и валунным материалом, а в вершинах небольших бухт – песчаным. В вершинной (северной) части залива (залив Муравьиный, бухта Суходол) развиты довольно обширные низкие аллювиально-морские равнины (рис. 4, 5).

Последний, Находкинский район, расположен между мысами Сысоева и Поворотный, в восточной части залива Петра Великого. По характеру изрезанности береговой линии он относится к мелкориасовому типу берегов, поскольку ширина бухт и заливов здесь не превышает 10 км [Петренко, 1990].

Общий фон донных осадков (грунтов) в верхней части шельфа залива Петра Великого создают мелкие пески, тогда как в бухтах доминируют илы [Петренко и др., 1982; Петренко, 1989]. Лагунно-бухтовое побережье включает типы подводных дельт (кутовые части заливов второго порядка и бухты Экспедиции и Суходол), малых заливов-ловушек (срединная часть изголовья Амурского залива, бухты Троицы и Новгородская) и малых заливов (внешняя часть Амурского, средняя часть Уссурийского и значительные части заливов Восток, Стрелок и Находка) [Лихт и др., 1983]. В кутовых (вершинных) частях заливов преобладают илы, иногда с единичным гравием, с поверхности жидкые и полужидкие. В Амурском заливе мощность илов достигает 22 м [Васильев, Марков, 1974]. В мелководной зоне заливов выделяется также группа подводного берегового склона и островного архипелага, где на дне обычны выходы коренных пород, распространены гравийные, галечные и валунные отложения (в основном на глубинах до 3–5 м, реже до 10 м). В целом для этих районов характерны преимущественно пески, иногда с прослойями гальки, наиболее распространены мелкозернистые пески. В зоне малых островов развиты разнозернистые пески, хотя вдоль островного побережья распространены также в основном мелкозернистые пески.

Гидрологический режим залива Петра Великого отличается значительной сезонной и пространственной изменчивостью, что делает этот район уникальным не только в Японском море, но и во всей северо-западной Пацифике. Г.М. Бирюлин с соавт. [1970] выделяет 4 летних модификации вод залива: эстuarные воды, прибрежные поверхностные воды, подповерхностные воды и глубинная япономорская водная масса (на выходе из залива). Летом воды залива, особенно в полузакрытых бухтах и вершинах заливов второго порядка, приближаются по своим характеристикам к субтропическим, наиболее высокие температуры наблюдаются в августе – до +30°C (среднегодовая температура августа составляет 23.2°C) [Ластовецкий, Якунин, 1981], в заливе Посытка – до +28 ... +30°C [Мануйлов, 1990], в заливе Восток – до +25°C [Степанов, 1976]. Эстuarные воды характеризуются температурой до +23°C и выше и соленостью до 31‰, прибрежные поверхностные – +16 ... +23°C, соленость 31–33‰ и подповерхностные – +2 ... +16°C, соленость более 33‰ [Бирюлин и др., 1970]. Именно наличие значительного летнего прогрева, вкупе с голоценовыми особенностями миграций моллюсков, делает фауну залива столь обогащенной тепловодными элементами [Голиков, Скарлато, 1967; Лугаенко, 1991].

Залив Петра Великого



A



B

Рис. 4. Песчано-галечные пляжи в заливе Стрелок (А) и бухте Амбабоза Уссурийского залива (В), в последнем случае с примесью ракушняка (устрицы, анадары, спизулы).
Фото О.П. Вальчук (А), К.А. Лутаенко (В).

Залив Петра Великого

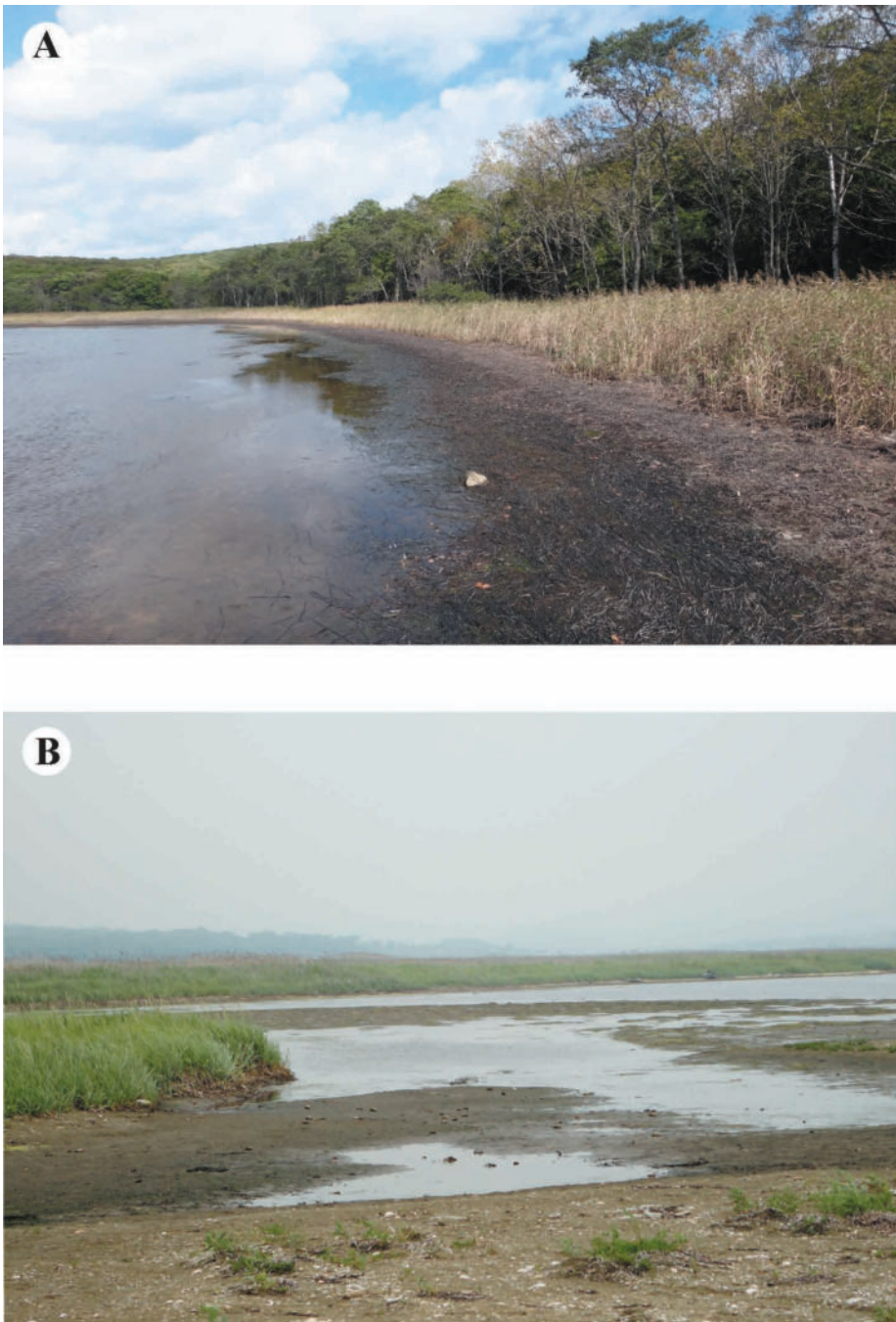


Рис. 5. Пляжи полуузакрытых и кутовых бухт: массовые выбросы зостеры в куту бухты Новик (остров Русский) (А) и песчано-илистый с органикой и отчленяющимися лужами и лагунками пляж бухты Суходол (В). Фото К.А. Лутаенко.

В верхнесублиторальной зоне, на глубинах до 25–30 м, представлены только первые два типа вод. Этот слой наиболее изменчив по гидрологическим параметрам в течение летнего периода, что особенно проявляется на акватории заливов второго порядка. Так, Амурский и Уссурийский заливы летом интенсивно прогреваются в северных частях, где водная масса почти однородна по температуре от поверхности до дна. В средней части прогрев различен для западного и восточного берегов вследствие особенностей речного стока и локальной циркуляции: у западного побережья Амурского залива воды теплее, а в Уссурийском – холоднее. В заливе Посыета летом идет интенсивный прогрев полузакрытых бухт Экспедиции и Новгородской, а воды в более открытой бухте Рейд Паллада холоднее. Термические контрасты в пространственном и вертикальном распределении начинают сглаживаться в осенний период, и зимой воды залива Петра Великого становятся гомотермными от поверхности до дна, приближаясь к арктическим: их температура падает до $-1 \dots -1.9^{\circ}\text{C}$ в январе–феврале [Бирюлин и др., 1970; Степанов, 1976; Ластовецкий, Якунин, 1981].

Распределение солености достаточно однородно по вертикали осенью, зимой и весной в открытой части залива [Ластовецкий, Якунин, 1981]. Однако в полузакрытых бухтах и лагунах в результате интенсивного льдообразования соленость может достигать 38‰ [Ластовецкий, 1978]. Летом в ряде районов залива Петра Великого формируется слой сезонных колебаний величины солености (до глубины 30 м) под влиянием речного стока, локальных течений, дождевого опреснения и т.п. В вершинной части заливов Амурского, Уссурийского и Славянского, в бухтах Нарва, Экспедиции и Новгородская, на глубинах менее 5 м, соленость может снижаться за счет материкового стока и ливневых дождей, до 27–29‰, при этом максимально до 8.75‰ (в поверхностном слое) и 20.5‰ (в придонном слое) [Подорванова и др., 1989]. В заливе Посыета соленость в летний период также может понижаться до 12–18‰ в поверхностном слое, а в верхнем 0.5-метровом диапазоне – до 5‰ [Вышкварцев, 1984]. В Амурском заливе соленость постепенно уменьшается по мере приближения к устью крупнейшей реки южного Приморья – Раздольной (Суйфун).

По волновому режиму в заливе различаются три типа районов: защищенные, полузашитенные и открытые [Мануйлов, 1990]. Для защищенных районов характерно ветровое волнение, зимой их акватории покрыты льдом. Полузашитенные районы более свободно связаны с открытым морем, имеют небольшие глубины (залив Славянский, бухта Троица и др.), и здесь также преобладает ветровое волнение с повторяемостью до 70–90%. Открытые районы имеют свободный водообмен с открытым морем, волновой режим в них определяют волны зыби в летний период и ветровое волнение с наибольшей повторяемостью зимой. Нижняя граница влияния волнения на дно в периоды наиболее сильных штормов находится на глубине около 50 м, однако активное волновое воздействие на донные осадки начинается с глубин 20–35 м [Орбов, 1987; Мануйлов, 1990]. Именно из этого диапазона глубин

Залив Петра Великого

могут попадать раковины моллюсков на пляж. Зона прибоя характерна для всего побережья южного Приморья и расположена примерно с глубины 5–7 м [Орбов, 1987]. Приливно-отливные колебания и вызываемые ими течения в заливе незначительны, максимальная амплитуда приливов-отливов достигает 0.4–0.5 м.

Холодное Приморское течение – крупное стационарное течение Японского моря, проникая в залив Петра Великого, оказывает существенное влияние на циркуляцию его вод, особенно в южной части Амурского залива, в районе островов Стенина, Рейнеке, Антипенко и Рикорда, воды течения поступают также в Уссурийский залив [Иващенко, 1993]. В открытых районах заливов Посыета, Восток и Находка воды Приморского течения принимают участие в формировании системы антициклональных круговоротов. В.В. Степанов [1976] указывает, что холодные воды открытого моря с температурой 3–4°C проникают в залив Восток в августе и сохраняются в течение месяца. Влияние Приморского течения хорошо фиксируется в составе и распределении современной малакофауны залива Петра Великого.

Полузакрытые бухты и некоторые заливы второго порядка на период 4–4.5 месяцев в году покрываются льдом [Ластовецкий, 1978]. Лед образуется в ноябре–декабре, к середине февраля припай достигает наибольшего развития (толщина неподвижного льда – до 1 м), в марте происходит его интенсивное таяние, и к середине апреля лед встречается лишь в вершине Амурского залива [Якунин, 1990]. Зимой в открытых районах залива Петра Великого наблюдается дрейфующий лед.

Фауна двустворчатых моллюсков залива Петра Великого

Фауна двустворчатых моллюсков залива Петра Великого является одной из самых богатых среди различных участков и районов дальневосточных морей России. О.А. Скарлато [1981] приводил для залива 135 видов, но 30 годами позже уже было известно 158 видов и подвидов [Lutaenko, Noseworthy, 2012]. В настоящее время, с учетом появившихся позже различных данных [Колпаков, Соколенко, 2016], некоторых пропущенных в каталоге 2012 г. видов и пересмотра синонимии, фауна залива включает 163 вида двустворчатых моллюсков. Таким образом, список с начала 1980-х гг. пополнился на 28 видов. Однако нижние отделы шельфа залива изучены недостаточно и мы можем ожидать новых находок для фауны с больших глубин.

Если рассматривать видовое богатство по районам залива Петра Великого (таблица), то оказывается, что больше всего видов известно из Амурского и Уссурийского заливов (119–124). Однако эти оценки являются собой некоторый артефакт в связи с недостаточной изученностью других районов; так, в заливе Посьета известно больше видов, но эти сведения пока не обобщены.

Видовое богатство фауны двустворчатых моллюсков различных районов залива Петра Великого

Район	Число видов	Источник	Примечание
Залив Посьета и прилегающие районы	97	Голиков, Скарлато [1967]; Скарлато [1981]	Пробы собирали на глубинах до 120 м
Центральная и западная части залива Петра Великого	91	Климова [1984]	Пробы собирали на глубинах до 460 м
Залив Восток	88	Евсеев [1981]	Пробы собирали на глубинах до 90 м
Амурский залив и прилегающие районы	119	Лутаенко [2002, 2003]	Пробы собирали на глубинах до 162 м
Уссурийский залив и прилегающие районы	124	Lutaenko [2005, 2006]	Пробы собирали на глубинах до 240 м

Залив Петра Великого представляет собой особый фаунистический район, лежащий, по нашим представлениям [Lutaenko, Noseworthy, 2014], в пределах большой Японо-Маньчжурской провинции, включающей северную часть Японского

моря, побережье острова Хоккайдо, южные Курильские острова, заливы Анива и Терпения на острове Сахалин (южная часть Охотского моря). Разделение южного и среднего/северного Приморья по широте мыса Поворотного диктуется не только своеобразием гидрологического режима залива Петра Великого, но и тем, что к югу от мыса число субтропических видов двустворчатых моллюсков начинает преобладать над числом широко распространенных boreальных видов [Скарлато, 1981]. Согласно последним данным (рис. 6), доля boreальных видов (широко распространенных boreальных и низкобореальных) в заливе Петра Великого достигает 50%, что вместе с boreально-арктическими видами дает 65% [Lutaenko, Noseworthy, 2014]. Удельный вес тепловодных видов (субтропическо-низкобореальные, субтропические и тропическо-субтропические) составляет более трети фауны (35%). В заливе Петра Великого известно девять тропическо-субтропических двустворчатых моллюсков: *Trapezium liratum*, *Pillucina pisidium*, *Mactra quadrangularis*, *Raeta pulchella*, *Theora lubrica*, *Dosinia japonica*, *Dosinia penicillata*, *Barnea manilensis* и *Laternula marilina*. Часть из них во всех дальневосточных морях России обитает только на юге Приморья, как и некоторые субтропические виды

(*Anadara broughtonii*, *Chlamys farreri*, *Nipponomyse obesa*, *Macoma nipponica*, *Macoma irus*, *Macoma tokyoensis*, *Saxidomus purpurata*, *Gomphina multifaria*, *Solen strictus*, *Barnea japonica*). В существовании этих видов велика роль полузакрытых бухт и вершин заливов, которые летом могут значительно прогреваться, что дает возможности для успешного размножения тепловодных моллюсков [Голиков, Скарлато, 1967; Скарлато, 1981; Лутаенко, 2002, 2003], однако нельзя недоучитывать и роль голоценовых потеплений в формировании такой структуры фауны, создавших путь миграции моллюсков с юга на север Японского моря [Лутаенко, 1991, 1999; Lutaenko, Noseworthy, 2014]. На побережье залива известно три вымерших в последние тысячелетия вида двустворчатых моллюсков в связи с изменением климата в сторону похолодания [Евсеев, 1981; Лутаенко, 1988, 1999], но их раковины встречаются на пляжах вершинной части Уссурийского

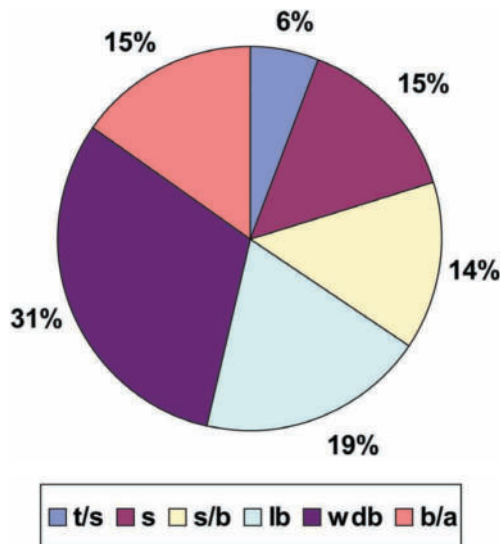


Рис. 6. Зонально-биогеографический состав фауны двустворчатых моллюсков залива Петра Великого (по: Lutaenko, Noseworthy [2014]). Условные обозначения (зонально-географические категории видов): **t/s** – тропическо-субтропические виды; **s** – субтропические виды; **s/b** – субтропическо-низкобореальные виды; **lb** – низкобореальные виды; **wdb** – широко распространенные boreальные и циркумбoreальные виды; **b/a** – boreально-арктические виды.

Фауна двустворчатых моллюсков залива Петра Великого

и Амурского заливов и в археологических стоянках на побережье. Таким образом, фауна двустворчатых моллюсков залива Петра Великого носит низкобореальный характер, но имеет значительную примесь тепловодных элементов, неоднородна как в пределах разных частей залива, так и батиметрически. Вопросы эколого-биогеографической структуры фауны подробно освещены в литературе, к которой мы и отсылаем всех интересующихся [Голиков, Скарлато, 1967; Скарлато, 1981; Кафанов, 1991; Лутаенко, 2002, 2003; Lutaenko, 1999, 2005, 2006; Lutaenko, Noseworthy, 2014].

Двусторчатые моллюски как объект сбора

Следует сказать, что коллекционеры и любители раковин, равно как и профессиональные малакологи могут легко заметить сильные отличия фаунистического состава, как собирая раковины на пляжах, так и занимаясь дайвингом даже в пределах разных частей побережья города Владивостока и его окрестностей. Вообще, береговые выбросы раковин представляют собой ценнейший источник информации для фаунистов, часто содержат богатейшие комплексы видов и иногда количественно обильны в ряде районов даже с невысокой гидродинамикой (рис. 7, 8). На пляжах некоторых бухт можно обнаружить, особенно при неоднократных посещениях, несколько десятков видов двусторчатых моллюсков (всего более 70 во всем заливе); так, еще в 1980-е гг. самое большое число видов – более 40, можно было найти на пляжах бухт Горностай и Суходол в Уссурийском заливе [Лугаенко, 1990]. Примечательно, что наши школьники проводят работы по изучению т.н. «танатобиоты» (мертвых остатков организмов на пляже), в том числе и моллюсков, в заливе Восток [Козубенко, Иванова, 2013]; аналогичные исследования проводят и японские учащиеся на противоположном берегу Японского моря, в префектуре Тоттори, помогая при этом профессиональным ученым создавать коллекции [Takebayashi, Wada, 2010]. Японские ученые [I.c.] считают, что сбор выбросов (по англ. beachcombing – прочесывание пляжей) способствует пониманию того, какие организмы живут в море и в целом полезно для экологического образования. Интересно, что изучение распределения, степени сохранности, сортировки, деструкционных процессов и состава раковин моллюсков и других органических остатков составляет предмет особой науки – актуопалеонтология (наука об использовании знаний о современных организмах для понимания прошлого) и частично тафономии (учение о закономерностях посмертной истории остатков организмов); на тему судьбы пляжевых раковин и их комплексов (танатоценозов) опубликованы десятки, если не сотни, научных статей.

Авторы помнят еще времена (1970-е гг.), когда приехав в выходные на пляж знаменитой бухты Шаморы (Лазурной) в Уссурийском заливе, можно было после легкого шторма собрать корзину приморских гребешков (*Mizuhopecten yessoensis*) для барбекю. Весьма велико до недавнего времени было количество живых моллюсков, выброшенных на пляжи после сильных тайфунов: так, после тайфуна «Фрэн» (1976 г.) на берег косы Чурхадо (Назимова) в заливе Посыета протяженностью 8 км было выброшено около 500000 экз. только спизулы (*Spisula sachalinensis*), а общее же количество выброшенных двусторок составило более 780000 экз. [Раков, Кучерявенко, 1977]. В том же районе после тайфуна «Эллис» на 400-метровый участок пляжа выбросило более 38000 экз. приморского гребешка [Калашников, 1984]. Но и в наше время после сильных тайфунов местные жители собирают деликатесную

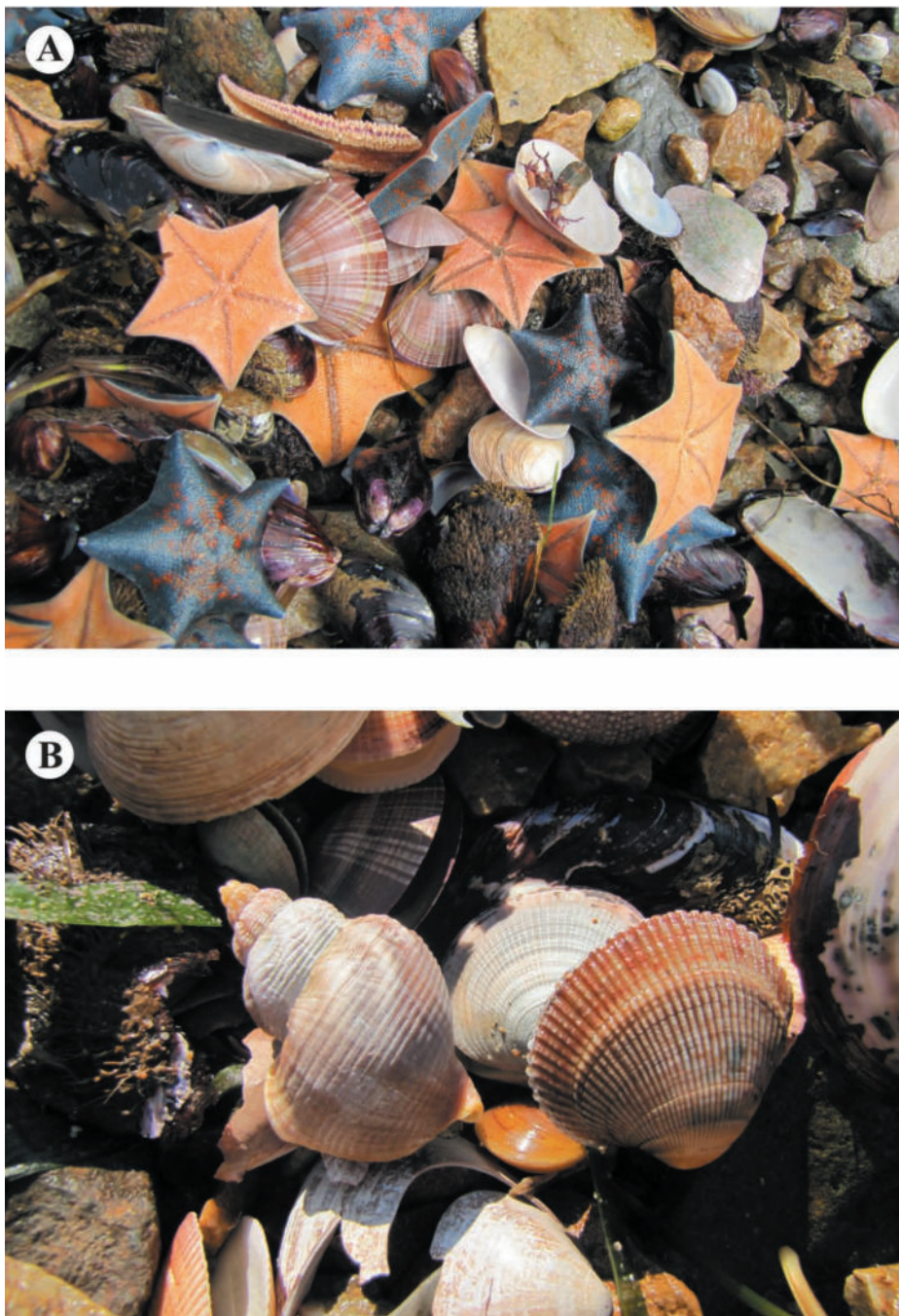


Рис. 7. Береговые выбросы в заливе Восток: видны раковины мактры полосатых (*Mactra chinensis*) (A), глицимерисов (*Glycymeris yessoensis*) и калифорнийских сердцевидок (*Clinoocardium californiense*) (B). Фото В.Г. Чашиной.



Рис. 8. Береговые выбросы в Уссурийском заливе: бухта Теляковского (А), видно много раковин мидий Грея (*Crenomytilus grayanus*) и устриц (*Crassostrea gigas*); бухта Амбабоза (В), раковины анадары (*Anadara broughtonii*), спизулы (*Spisula sachalinensis*) и устрицы. Фото К.А. Лутаенко.

Двустворчатые моллюски как объект сбора



Рис. 9. Фрагменты выставки «Бабочки океана» о морских гребешках (А) и постоянной экспозиции по двустворчатым моллюсм (В) Зоологического музея УНМ ДВФУ.

Двустворчатые моллюски как объект сбора

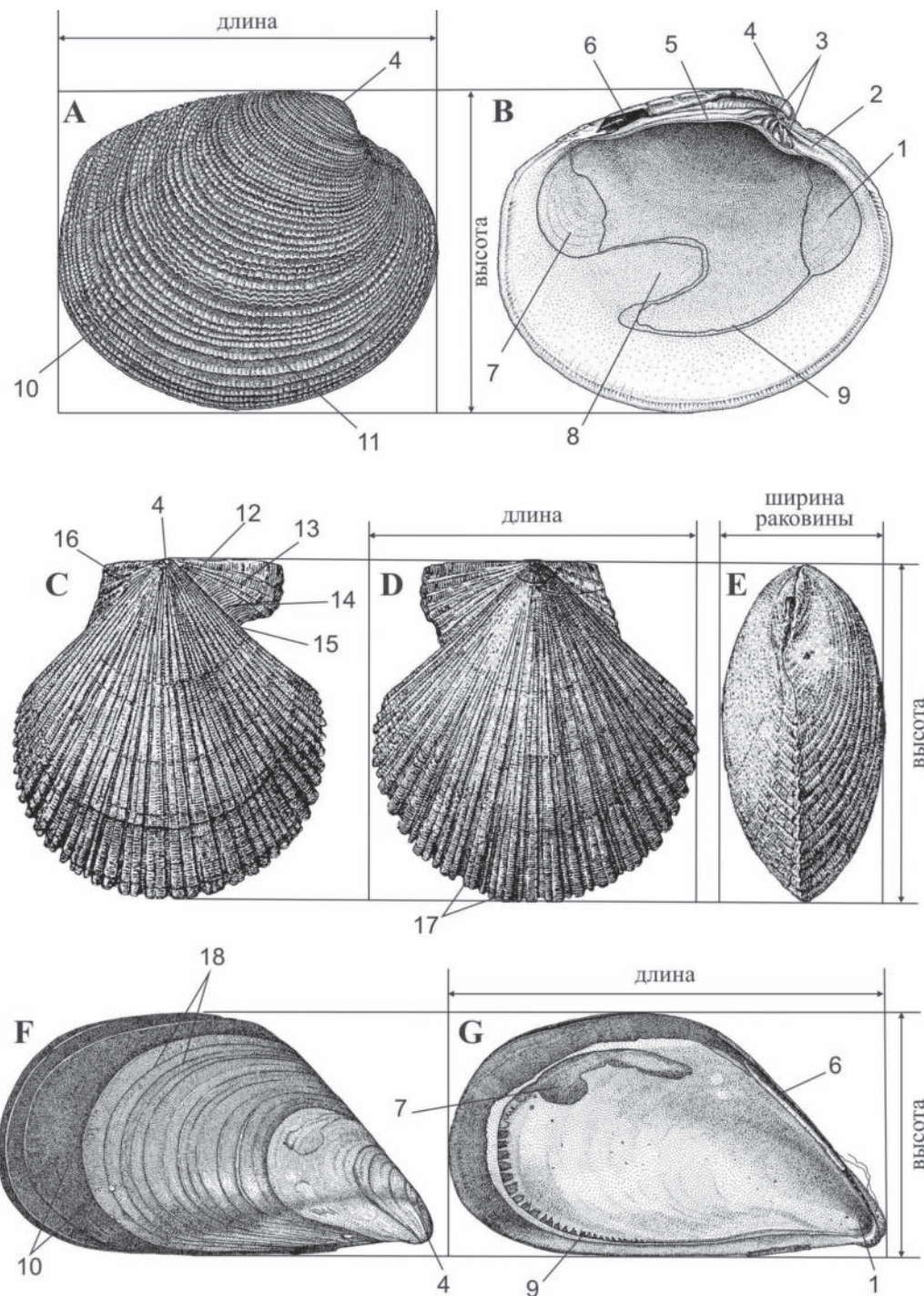
спизулу на пляже Шаморы, о чем местная интернет-пресса и блогеры выкладывают фотографии (например, после тайфуна «Болавен» в 2012 г.). Однако интересно знать, что же мы едим: так, в японских ресторанах Владивостока популярны суши и сашими из анадары (*Anadara broughtonii*), спизулы и приморского гребешка, но все ли видели раковины этих животных и многих других их родственников? В порядке расширения кругозора и просвещения остается только пригласить всех желающих в Зоологический музей Дальневосточного федерального университета (Владивосток, Океанский проспект, д. 37), где имеется не только одна из крупнейших научных коллекций моллюсков в стране (<http://rfems.dvo.ru/index.php/ru/collections-menu-ru/collection-dvfu-menu-ru>), но и прекрасная экспозиция о дальневосточных двустворках и регулярно проводятся выставки на малакологические тематики (рис. 9). Выставочная коллекция двустворчатых моллюсков из дальневосточных морей имеется также в Музее Национального научного центра морской биологии ДВО РАН (Владивосток).

Раковина двустворчатых моллюсков

Двустворчатые моллюски, или *Bivalvia* – животные с билатеральной симметрией, их тело заключено в известковую раковину. Раковина состоит из **левой и правой створок**, которые охватывают тело с боков и соединяются в спинной области лигаментом. Различают передний и задний края створок и брюшной (центральный, нижний) и спинной (дорсальный, верхний) края створок, которые плавно или под углом переходят друг в друга (рис. 10, 11). Если расположить раковину верхушкой вверх и передним концом от себя, то створку, находящуюся слева от плоскости смыкания створок, называют левой, а створку, находящуюся справа, – правой. Форма створок может быть различной – округлая, овальная, треугольная, четырехугольная, субквадратная, иногда молотковидная или неправильная (рис. 12). Раковины могут быть как равносторончими (створки одинаковы по форме и величине), так и неравносторончими (створки отличаются друг от друга по размерам, форме, степени выпуклости, массивности). Наиболее высокая часть спинного края створок называется **макушкой**: если она расположена более или менее по центру, раковину называют равносторонней, если макушка смещена – то раковина неравносторонняя. У некоторых видов *Mytilidae* макушки смещаются сильно кпереди и совпадают с передним концом, и в этом случае их максимальный размер – это длина раковины, а не высота, как у устриц (*Ostreidae*) или гребешков (*Pectinidae*). Макушки, загнутые вперед, называют прозогирными, загнутые назад – опистогирными, загнутые в сторону противоположной створки – ортогирными, при этом они могут быть смещены вправо или влево, вне зависимости от загнутости.

Раковина двустворчатых моллюсков в общем случае состоит из трех слоев: наружного, или **периостракума**, который представляет собой органическое рогоподобное вещество (конхиолина). Периостракум может быть гладким или иметь различные выросты и волоски (например, у *Mytilidae*), чешуйки (*Arcidae*) и т.п., в примакушечной (наиболее старой) части раковины он часто стирается. Средний, известковый, слой называется **остракумом**, он состоит из призматических кристаллов извести (кальцита или арагонита). Внутренний (нижний) слой называется **гипостракумом** и он часто перламутровый, состоит из пластинок или табличек арагонита, соединенных конхиолином, что вызывает интерференцию света и переливание его разными цветами. Из обитающих в заливе Петра Великого перламутр характерен для двустворчатых моллюсков из семейств *Nuculidae* (ореховидки), *Mytilidae* (мидии), *Pandoridae* (пандоры) и *Lyonsiidae* (лионзии). Часто вместо перламутрового слоя присутствуют кальцитовый или фарфоровидный слои. Внутренний слой может быть белым или окрашенным в различной интенсивности цвета: желтый, оранжевый и розовый (особенно у *Tellinidae*, *Veneridae*), кирпично-коричневым (*Arcidae*, *Pectinidae*), синим и фиолетовым

Раковина двустворчатых моллюсков



(Mytilidae, Veneridae, Psammobiidae); иногда окрашено только место прикрепления мускула-замыкателя (например, у Anomiidae и Ostreidae).

Наружная поверхность раковины покрыта линиями нарастания и несет различную скульптуру в виде выростов, килей, бороздок, ребер, морщин и т.п., но может быть и почти гладкой. Часть скульптурных особенностей связана с периостракумом (морщины, микроскладки, выросты), но большая часть представляет собой наружные элементы остракума. По расположению различают **радиальную** (идущую веерообразно от макушки к краям), **концентрическую** (или коммаргинальную) (параллельную линиям нарастания), **сетчатую** (канцелятную) (образующуюся при пересечении радиальной и концентрической) и **диварикатную** (шевронообразную, косую, зигзагообразную) скульптуру наружной поверхности (например, у некоторых Nuculidae). Радиальная скульптура может быть представлена как едва заметной струйчатостью, так и мощными ребрами (например, у Arcidae, Pectinidae, Cardiidae, Carditidae) или ребрышками (Mytilidae, Cuspidariidae). Сетчатая скульптура характерна для ряда венерид (Veneridae).

В дорсальной части раковины расположены лунка (впереди макушки) и щиток (позади макушки) (рис. 11). У гребешков, лимид (Limidae) и некоторых других двустворчатых моллюсков имеются треугольные выросты – ушки (рис. 10). **Лигамент** (эластичная связка), соединяющий створки раковины на спинной стороне обычно расположен позади макушек (опистодетный), либо под макушками или по обе стороны от них (амфидетный), или впереди (прозодетный). Лигамент располагается между краями створок, может быть погружен в спинную часть раковины или крепиться к особым выростам раковины (нимфам) (например, у Trapezidae и Psammobiidae). Погруженный лигамент может располагаться в особом ложечковидном выросте – **хондрфоре** (Myidae), либо в углублении – **резилифере** и может быть обызвестлен (тогда он называется литодесма – Lyonsiidae).

Замочная площадка является структурой дорсального края створки и служит для обеспечения плотного соединения створок. Замочная площадка несет **зубы** – выступы и бугорки раковины, которым соответствуют выемки на другой

Рис. 10. Схема строения и измерений раковин морских двустворчатых моллюсков: A, B – *Protostaca adamsii* (Veneridae); C–E – *Chlamys* sp. (Pectinidae) (модифицировано по: Скарлато [1981]); F, G – *Mytilus galloprovincialis* (Mytilidae); 1 – отпечаток переднего аддуктора; 2 – передние латеральные зубы; 3 – кардинальные зубы; 4 – макушка; 5 – задние латеральные зубы; 6 – лигамент; 7 – отпечаток заднего аддуктора; 8 – мантальный (паллиальный) синус; 9 – мантальная (паллиальная) линия; 10 – линии нарастания; 11 – элементы радиальной скульптуры; 12 – спинной (верхний) край; 13 – переднее ушко; 14 – биссусная фасциола; 15 – биссусный вырез; 16 – заднее ушко; 17 – радиальные ребра.

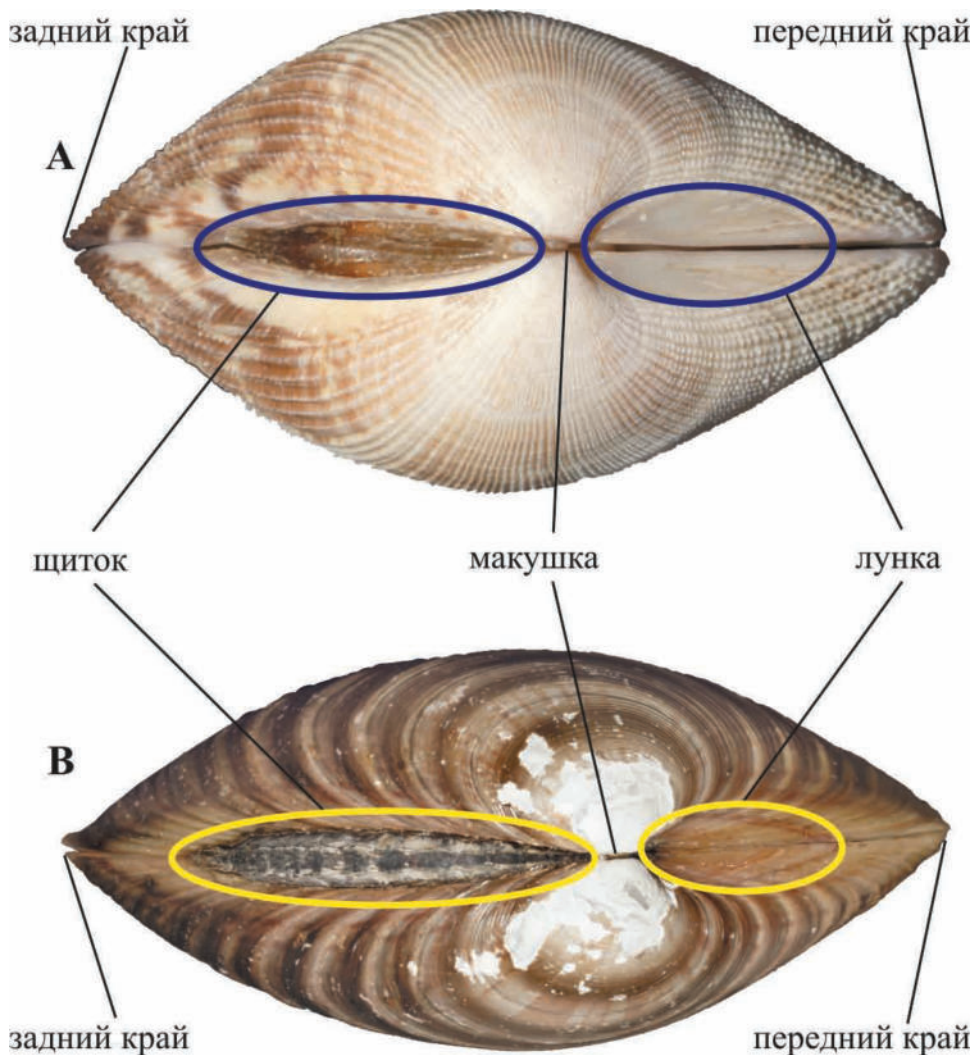


Рис. 11. Морфологические структуры дорсальной (спинной) части раковины венерид (Veneridae): А – *Ruditapes philippinarum*; Б – *Callista brevisiphonata*.

створке. По форме и расположению зубов замки современных двустворчатых моллюсков можно упрощенно подразделить на таксодонтные, гетеродонтные, изодонтные, десмодонтные и дизодонтные. **Таксодонтные** замки (рядозубые) имеют многочисленные, чередующиеся с зубными ямками, мелкие зубы, расположенные на цельной (*Arcidae*, *Glycymerididae*) или прерванной в середине резилифером замочной площадке (*Nuculidae*, *Nuculanidae*, *Yoldiidae*). В **гетеродонтных**

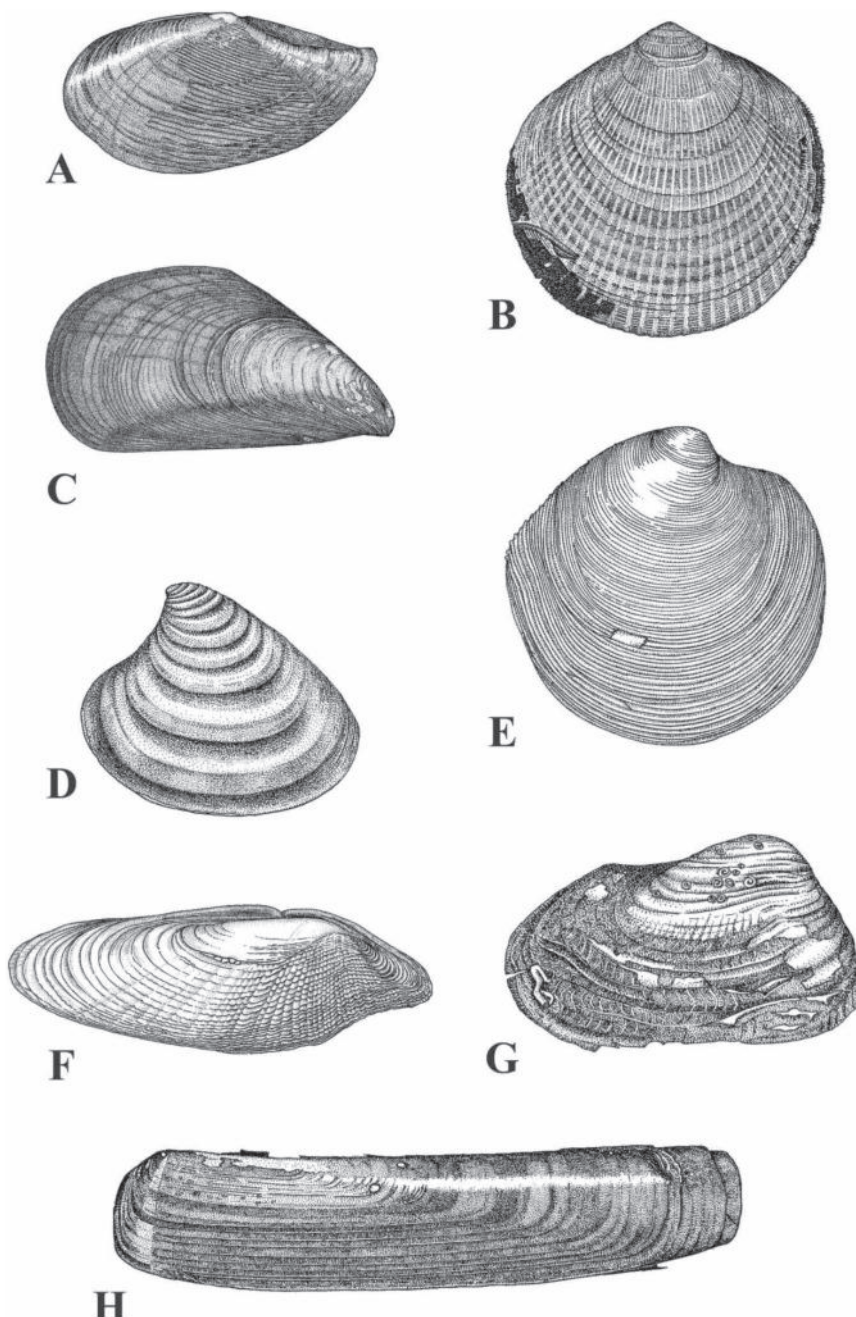


Рис. 12. Форма раковины у разных видов двустворчатых моллюсков: А – *Yoldia semi-nuda*; Б – *Glycymeris yessoensis*; В – *Mytilus trossulus*; Г – *Astarte elliptica*; Д – *Dosinia japonica*; Е – *Barnea manilensis*; Ж – *Entodesma navicula*; И – *Solen krusensternii*. Рисунки из книги: Lutaenko, Noseworthy [2012].

(разнозубых) замках имеются немногочисленные, различные по величине и форме зубы, которые группируются под макушкой (короткие, перпендикулярные или немного скошенные) – кардинальные, и расположенные по краям (удлиненные, параллельные или субпараллельные замочному краю) – латеральные; иногда те или иные зубы могут быть частично редуцированы. Этот тип замков наиболее распространен (Astartidae, Carditidae, Veneridae, Lucinidae и др.). **Изодонтные** замки (равнозубые) имеют в каждой створке по два массивных зуба и не представлены у видов из залива Петра Великого (присутствуют у тропических видов из семейств Spondylidae, Plicatulidae). В **десмодонтных** замках настоящие зубы обычно отсутствуют, но имеются боковые зубовидные бугорки, а в центре лопатовидные или ложечковидные выросты для поддержания лигамента (Myidae, Laternulidae, Hiatellidae, Pholadidae). Наконец, **дизодонтные** (беззубые) замки характеризуются отсутствием настоящих зубов и выростов для прикрепления лигамента – такие замки имеют мидии, устрицы, аномии, лимы, гребешки (Limidae, Anomiidae, Pectinidae, Mytilidae, Ostreidae). Современная классификация замочных аппаратов более усложненная и содержит много подтипов или разновидностей вышеупомянутых замков и для ознакомления с ней мы отсылаем к книге О.А. Скарлато [1981] и новому справочнику по морфологии двустворчатых моллюсков [Carter et al., 2012].

Внутренняя поверхность створок несет следы различных анатомических структур мягкого тела моллюска. Поверхностная структура также может негативно отображаться на внутренней части створок, например, радиальные ребра Arcidae создают соответствующую структуру изнутри. Края раковины могут быть зазубренными сообразно наружным радиальным ребрам (Arcidae, Cardiidae, Carditidae) (кренуляция). На внутренней поверхности створок хорошо заметны места прикрепления одного или двух **мускулов-замыкателей** (отпечатки аддукторов), а вдоль краев заметен след прикрепления мышц мантии (**мантийная, или паллиальная линия**) (рис. 10). У некоторых митилид передний мускул-замыкатель прикрепляется к небольшим перегородкам (**септам**) в примакушечной части. Виды двустворчатых моллюсков, имеющие развитые сифоны, имеют изгиб мантийной линии в ее задней части, называемый **мантийным (паллиальным) синусом**, иногда нижняя ветвь синуса вплотную примыкает к мантийной линии, тогда говорят, что синус полностью или частично сливаются с мантийной линией (например, у некоторых Myidae). Мантийная линия может быть непрерывной или превращается в серию отпечатков (некоторые Hiatellidae). Имеются отпечатки других мускулов, например, ретракторов ноги.

Анатомия двустворчатых моллюсков не используется для видовой идентификации двустворчатых моллюсков, но общие представления о ней необходимы для понимания строения раковины (рис. 13). Тело *Bivalvia* состоит из туловища, заключающего внутренние органы и покрытого мантией, и мускулистой ноги, тогда как голова редуцирована. У прикрепленных видов нога может быть

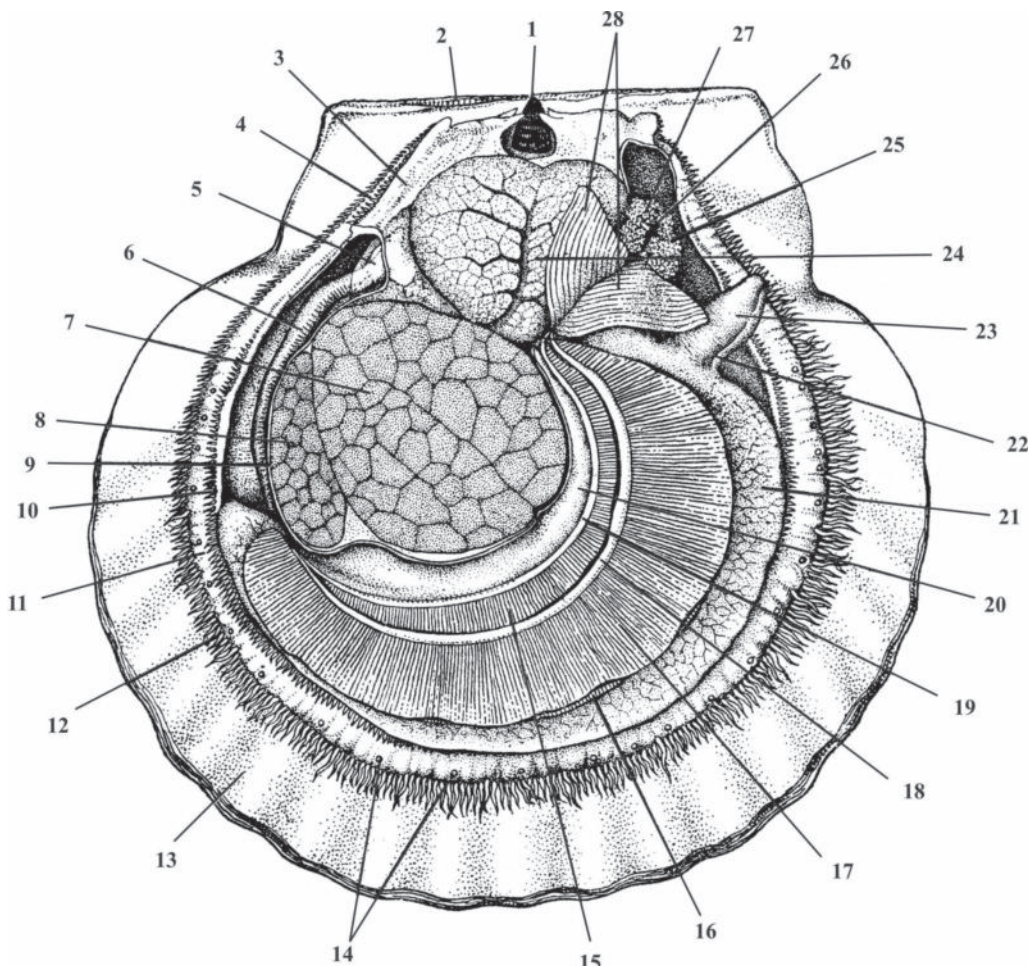
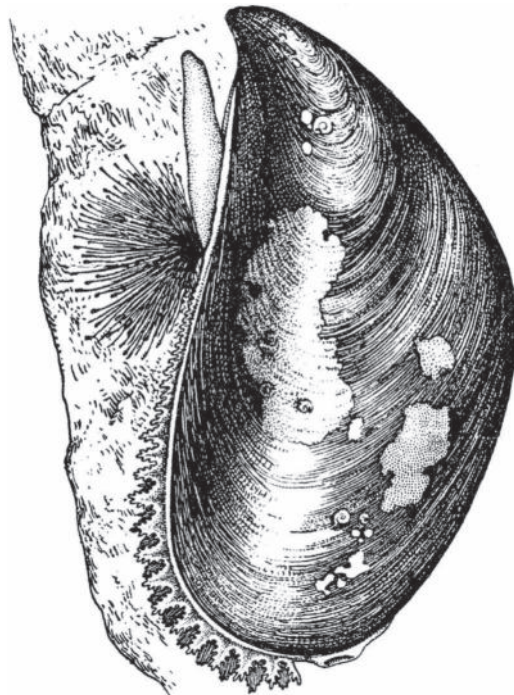


Рис. 13. Анатомия приморского гребешка (*Mizuhopecten yessoensis*) (вскрыт с правой стороны, правая створка раковины и правая мантийная складка удалены; по: Иванов, Стрелков [1949, табл. IIIА]): 1 – внутренний лигамент; 2 – наружный лигамент; 3 – просвечивающий задний конец мышцы паруса; 4 – место сращения мантийных складок; 5 – околосердечная сумка с сердцем; 6 – прямая (задняя) кишка; 7 – передний отдел мускула-замыкателя; 8 – задний отдел мускула-замыкателя; 9 – основание обрезанной правой мантийной складки; 10 – свободный край паруса левой мантии; 11 – парус левой мантии; 12 – щупальца левой мантии; 13 – левая створка раковины; 14 – глаза; 15 – нисходящая пластинка наружной полужабры; 16 – внутренняя полужабра; 17 – восходящая пластинка наружной полужабры; 18 – верхний край восходящей пластинки наружной полужабры; 19 – просвечивающий жаберный сосуд; 20 – жаберная ось; 21 – внутренностная (висцеральная) масса; 22 – биссусовая бороздка ноги; 23 – нога; 24 – печень с ее кровеносными сосудами; 25 – нижняя губа; 26 – ротовое отверстие; 27 – верхняя губа; 28 – ротовые лопасти.

редуцирована. Снизу складки мантии могут срастаться, исключая отверстия для выхода ноги и сифонов – двух трубок, по нижней из которых вода поступает в мантийную полость, а по верхней – выбрасывается наружу. Они называются,



соответственно, вводным и выводным сифонами. По краю мантии иногда могут располагаться маленькие щупальца и глазки (рис. 13). У части видов имеется биссус – эластичные нити, иногда срастающиеся в тяжи, которыми моллюск прикрепляется ко дну (рис. 14). Для дальнейшего ознакомления с анатомией дальневосточных видов двустворчатых моллюсков мы отсылаем к хорошо иллюстрированной цветными рисунками книге Г.А. Евсеева и Ю.М. Яковлева [2006].

Рис. 14. Мидия Грэя (*Crenomytilus grayanus*), прикрепленная пучком нитей биссуса к камню. Видна также нога (по: Иванов, Стрелков [1949, табл. VA]).

Книги, рекомендованные для дальнейшего чтения

- Арзамасцев И.С., Яковлев Ю.М., Евсеев Г.А., Гульбин В.В., Ключкова Н.Г., Селин Н.И., Ростов И.Д., Юрлов Г.И., Жук А.П., Буяновский А.И.* 2001. Атлас промысловых беспозвоночных и водорослей морей Дальнего Востока России. Владивосток: Аванте. 192 с.
- Волова Г.Н., Скарлато О.А.* 1980. Двустворчатые моллюски залива Петра Великого. Владивосток: Дальневосточное книжное изд-во. 95 с.
- Евсеев Г.А., Яковлев Ю.М.* 2006. Двустворчатые моллюски дальневосточных морей России. Владивосток: Поликон. 120 с.
- Егорова Э.Н., Сиренко Б.И.* 2010. Промысловое, перспективные для промысла и кормовые беспозвоночные российских морей. Москва–С.-Петербург: КМК. 284 с.
- Жирмунский А.В.* (отв. ред.). 1976. Животные и растения залива Петра Великого. Ленинград: Наука. 363 с.
- Кафанов А.И.* 1991. Двустворчатые моллюски и фаунистическая биогеография северной Пацифики. Владивосток: ДВО АН СССР. 195 с.
- Лутаенко К.А., Ноусворт Р.Дж.* 2012. Каталог современных двустворчатых моллюсков континентального побережья Японского моря. Владивосток: Дальнаука. 247 с. [на англ. яз.].
- Скарлато О.А.* 1960. Двустворчатые моллюски дальневосточных морей СССР (отряд Dysodonta) // Определители по фауне СССР, издаваемые Зоологическим институтом АН СССР. Вып. 71. С. 1–151.
- Скарлато О.А.* 1981. Двустворчатые моллюски умеренных широт западной части Тихого океана // Определители по фауне СССР, издаваемые Зоологическим институтом АН СССР. Вып. 126. С. 1–479.
- Яенов С.В.* 2000. Атлас двустворчатых моллюсков дальневосточных морей России. Владивосток: ТИНРО-центр. 167 с.

Благодарности

Авторы искренне признательны А.А. Омельяненко (Национальный научный центр морской биологии ДВО РАН, Владивосток), В.Б. Даркину (Владивосток), О.П. Вальчук (Федеральный научный центр биологического разнообразия северо-востока Азии ДВО РАН, Владивосток) и В.Г. Чащиной (Геолого-минералогический музей УНМ ДВФУ, Владивосток) за предоставление фотографий моллюсков и побережья. Сотрудники Зоологического музея УНМ ДВФУ М.Г. Казыханова, Т.Ю. Савко, Т.В. Чернова и О.А. Бурковский оказывали многолетнюю поддержку в наших исследованиях двустворчатых моллюсков и при работе с коллекциями. И.А. Дьяченко (Музей Национального научного центра морской биологии ДВО РАН, Владивосток) любезно помогла при отборе проб для фотографирования из коллекции этого музея. Юджин Коэн (Eugene V. Coan, Santa Barbara Museum of Natural History, Santa Barbara, USA) консультировал нас при переводах некоторых названий с латыни на русский. В книге использованы некоторые рисунки, изготовленные Т.В. Черненко. Е.Е. Костина (Национальный научный центр морской биологии ДВО РАН, Владивосток) оперативно осуществила верстку данной книги. Всем этим лицам мы приносим нашу глубокую благодарность.

Атлас двусторчатых моллюсков

Фототаблица 1 **Plate 1**

Семейство **Nuculidae** Gray, 1824

Acila (Truncacila) insignis (Gould, 1861) – **ореховидка замечательная**
Длина раковины 14.1 мм.

Nucula (Leionucula) tenuis (Montagu, 1808) – **ореховидка тонкая**
Длина раковины 8.5 мм.

Семейство **Nuculanidae** H. et A. Adams, 1858

Nuculana (Nuculana) sadoensis (Yokoyama, 1926) – **нукулана садосская**
Длина раковины 19.0 мм.

Семейство **Yoldiidae** Dall, 1908

Yoldia (Yoldia) bartschi Scarlato, 1981 – **йольдия Бартша**
Длина раковины 36.1 мм.



Acila insignis



Nucula tenuis



Nuculana sadoensis



Yoldia bartschi

Фототаблица 2 **Plate 2**

Семейство **Yoldiidae** Dall, 1908

Yoldia (Cnesterium) seminuda Dall, 1871 – **йольдия полуголая**
Длина раковины 33.3 мм.

Yoldia (Cnesterium) keppeliana Sowerby III, 1904 – **йольдия Кеппеля**
Длина раковины 41.5 мм.

Portlandia lischkei (Smith, 1885) – **портландия Лишке**
Длина раковины 27.9 мм.

Megayoldia thraciaeformis (Storer, 1838) – **мегайольдия трациевидная**
Длина раковины 48.1 мм.

Yoldiella derjugini Scarlato, 1981 – **йольдиелла Дерюгина**
Длина раковины 4.3 мм.



Yoldia seminuda



Yoldia keppeliana



Portlandia lischkei



Megayoldia thraciaeformis



Yoldiella derjugini

Фототаблица 3 **Plate 3**

Семейство **Arcidae** Lamarck, 1809

Arca boucardi Jousseaume, 1894 – **арка Букарда**
Длина раковины 44.5 мм.

Anadara (Scapharca) broughtonii (Schrenck, 1867) – **анадара Броутона**
Длина раковины 96.1 мм.

Семейство **Glycymerididae** Dall, 1908

Glycymeris (Glycymeris) yessoensis (Sowerby III, 1889) – **глицимерис хок-кайдский**
Длина раковин 32.7 мм (верхнее изображение) и 32.5 мм (нижнее изображение).



Arca boucardi



Anadara broughtonii



Glycymeris yessoensis

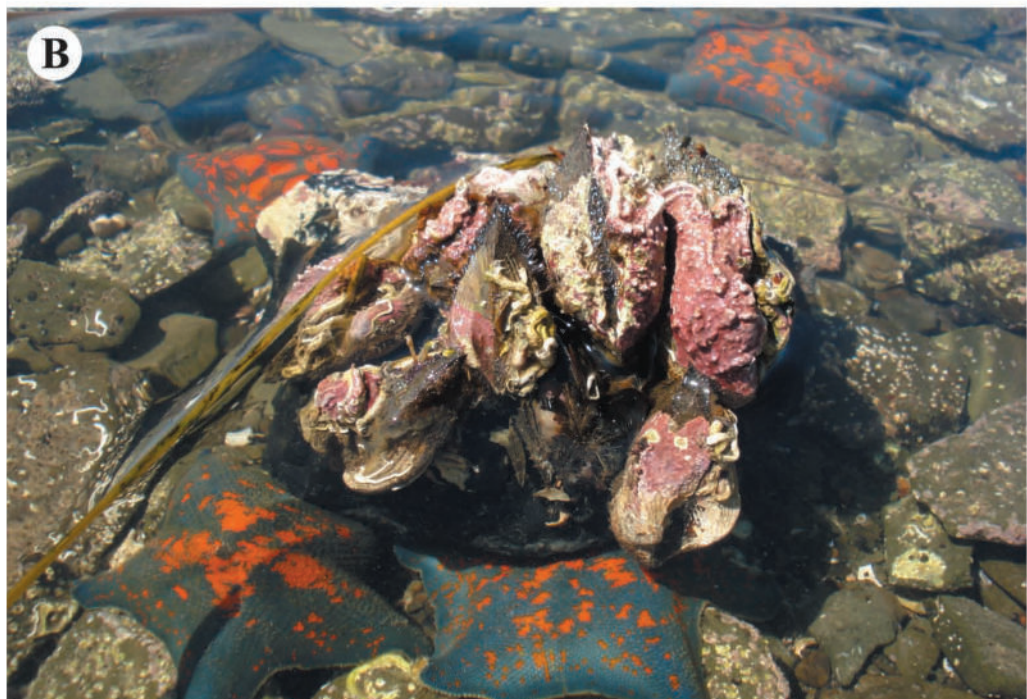


Фототаблица 4 **Plate 4**

Семейство **Arcidae** Lamarck, 1809

Arca boucardi Jousseaume, 1894 – **арка Букарда**

Живая особь, прикрепившая биссусом к камню (**А**) и сросток (друсток) живых моллюсков на камне (**В**), литораль – верхняя сублитораль, бухта Новик (остров Русский). *Фото И.Е. Волченко.*



Фототаблица 5 **Plate 5**

Семейство **Mytilidae** Rafinesque, 1815

Mytilus (Mytilus) galloprovincialis Lamarck, 1819 – **мидия средиземноморская**

Длина раковины 71.6 мм.

Mytilus (Mytilus) trossulus A.A. Gould, 1850 – **мидия тихоокеанская**

Длина раковины 49.6 мм.



Mytilus galloprovincialis



Mytilus trossulus

Фототаблица 6 **Plate 6**

Семейство **Mytilidae** Rafinesque, 1815

Mytilus (Mytilus) coruscus Gould, 1861 – **мидия блестящая**
Длина раковины 69.5 мм.

Crenomytilus grayanus (Dunker, 1853) – **мидия Грэя**
Длина раковины 82.7 мм.



Mytilus coruscus



Crenomytilus grayanus

Фототаблица 7 **Plate 7**

Семейство **Mytilidae** Rafinesque, 1815

Arcuatula senhousia (Benson in Cantor, 1842) – аркуатула Сенхоуз
Длина раковины 19.8 мм.

Musculus niger (Gray, 1824) – мускулюс черный
Длина раковины большей особи (слева) 61.1 мм.
Длина раковины меньшей особи (справа) 22.2 мм.

Musculus koreanus Ockelmann, 1983 – мускулюс корейский
Длина раковины 33.5 мм.



Arcuatula senhousia



Musculus niger



Musculus koreanus

Фототаблица 8

Plate 8

Семейство **Mytilidae** Rafinesque, 1815

Musculus laevigatus (Gray, 1824) – **мускулюс гладкий**
Длина раковины 32.0 мм.

Musculus discors (L., 1767) – **мускулюс противоречивый**
Длина раковины 15.1 мм.

Musculus glacialis (Leche, 1883) – **мускулюс морщинистый**
Длина раковины 10.4 мм.

Vilasina pillula Scarlato, 1960 – **вилазина шариковидная**
Длина раковины 6.3 мм.

Crenella decussata (Montagu, 1808) – **кренелла перекрестнопарная**
Длина раковины 3.1 мм.



Musculus laevigatus



Musculus discors



Musculus glacialis



Vilasina pillula



Crenella decussata

Фототаблица 9 Plate 9

Семейство **Mytilidae** Rafinesque, 1815

Modiolus (Modiolus) kurilensis Bernard, 1983 – модиолюс курильский
Длина раковины 81.4 мм.

Adula falcatoides Habe, 1955 – адула серповидная
Длина раковины 34.0 мм.

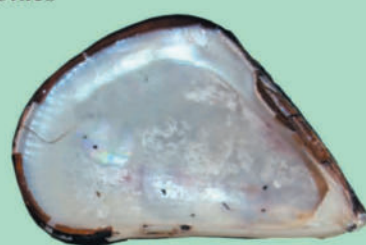
Septifer (Mytilisepta) keenae Nomura, 1936 – септифер Кин
Длина раковины 19.8 мм.



Modiolus kurilensis



Adula falcatoides



Septifer keenae

Фототаблица 10 **Plate 10**

Семейство **Ostreidae** Rafinesque, 1815

Crassostrea gigas (Thunberg, 1793) – устрица гигантская (тихоокеанская)
Высота раковины 77.7 мм.



Crassostrea gigas

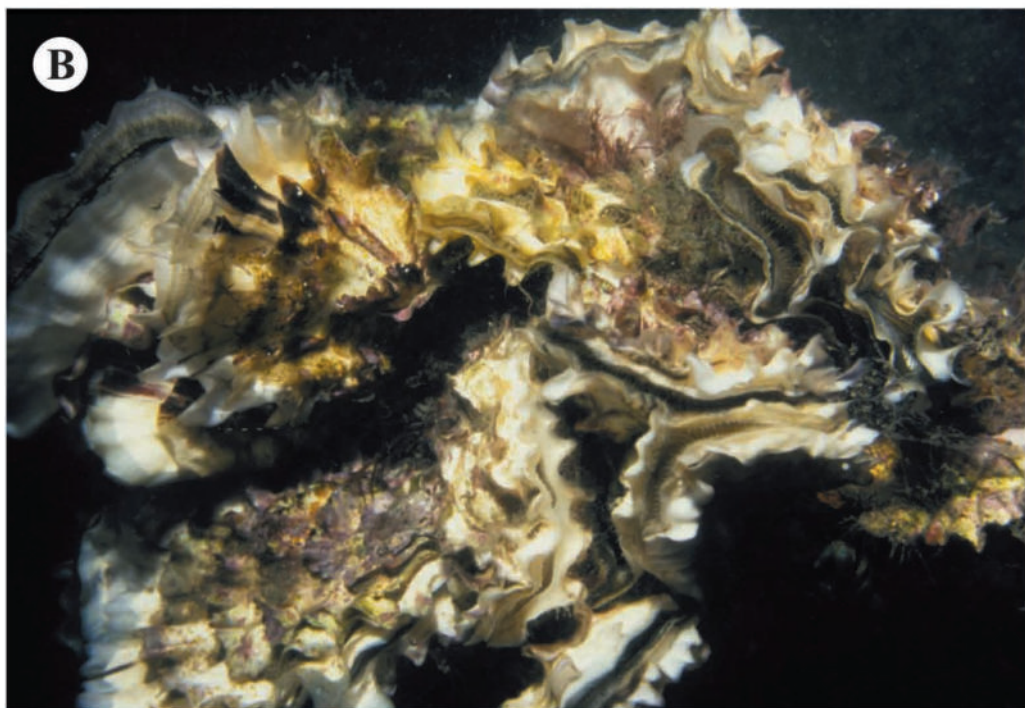
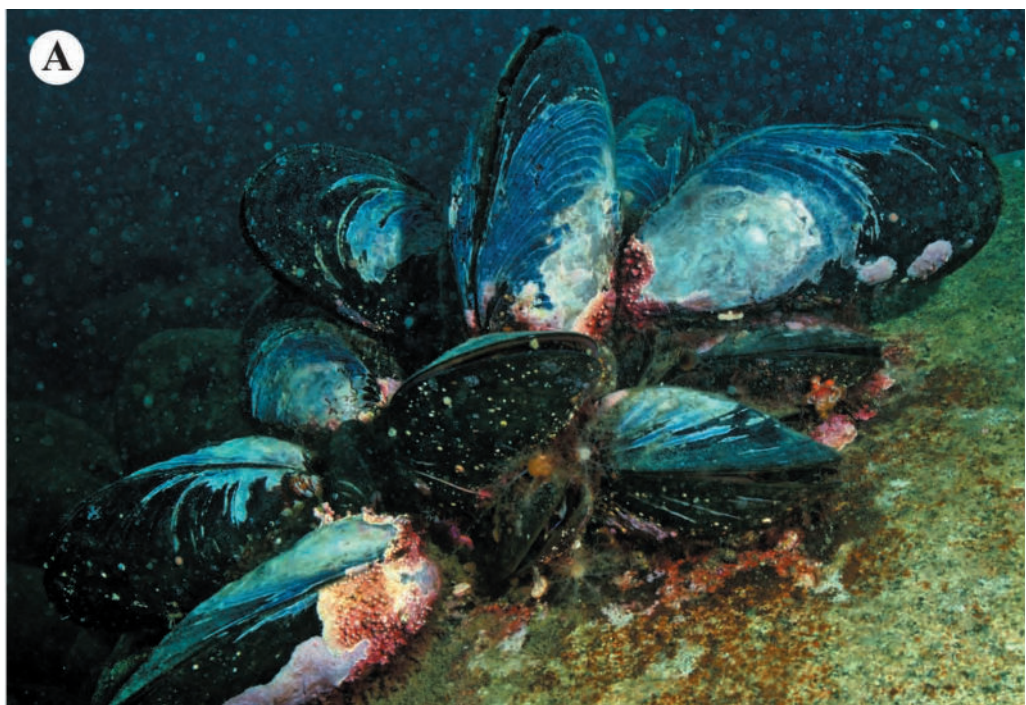
Фототаблица 11 **Plate 11**

Семейство **Mytilidae** Rafinesque, 1815

Crenomytilus grayanus (Dunker, 1853) – **мидия Грэя (А)**
Залив Петра Великого, друза. *Фото А.А. Омельяненко.*

Семейство **Ostreidae** Rafinesque, 1815

Crassostrea gigas (Thunberg, 1793) – **устрица гигантская (тихоокеанская) (В)**
Залив Петра Великого. *Фото В.Б. Даркина.*



Фототаблица 12 **Plate 12**

Семейство **Anomiidae** Rafinesque, 1815

Pododesmus (Monia) macrochisma (Deshayes, 1839) – пододесмус гигантский
Длина раковины 62.0 мм.

Семейство **Pectinidae** Wilkes, 1810

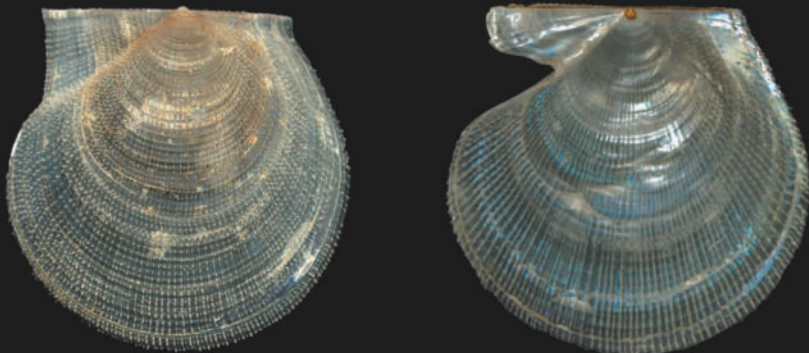
Delectopecten randolphi (Dall, 1897) – гребешок Рандольфа
Длина раковины 27.0 мм.

Семейство **Propeamussiidae** Abbott, 1954

Parvamussium alaskense (Dall, 1871) – гребешок аляскинский
Длина раковины 30.2 мм.



Pododesmus macrochisma



Delectopecten randolphi



Parvamussium alaskense

Фототаблица 13 **Plate 13**

Семейство **Pectinidae** Wilkes, 1810

Chlamys (Chlamys) rosealba Scarlato, 1981 – гребешок бело-розовый
Длина раковины 71.9 мм.

Chlamys (Azumapecten) farreri (Jones et Preston, 1904) – гребешок Фаррера
(японский)
Длина раковины 70.5 мм.



Chlamys rosealba



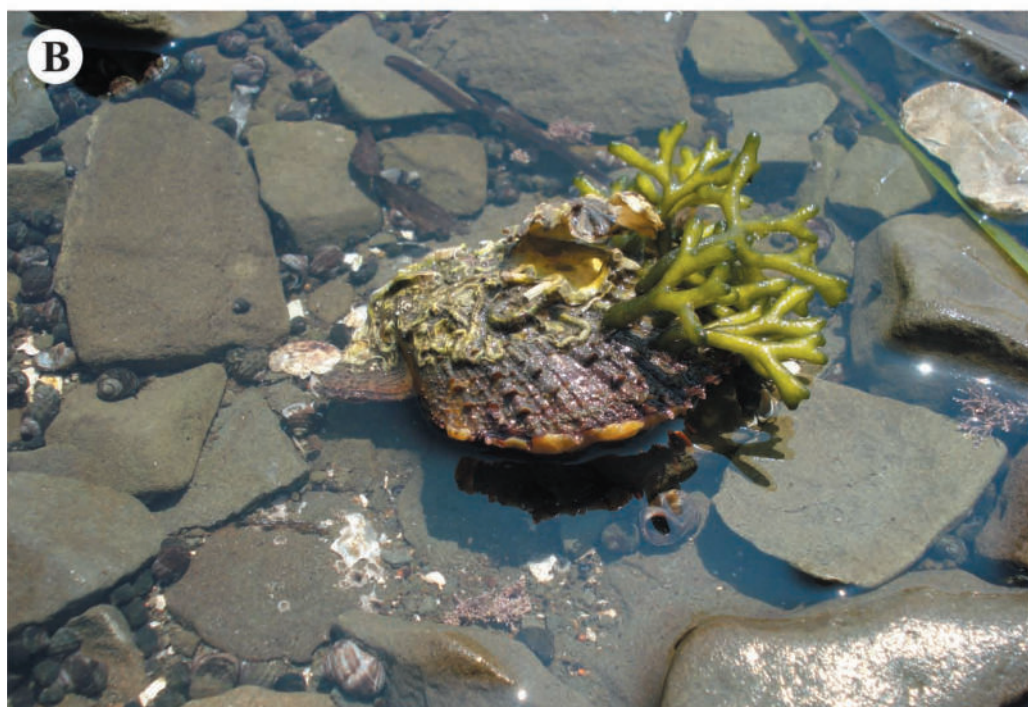
Chlamys farreri

Фототаблица 14 **Plate 14**

Семейство **Pectinidae** Wilkes, 1810

Chlamys (Azumapecten) farreri (Jones et Preston, 1904) – **гребешок Фаррера (японский)**

Живые особи (A, B) на литорали и в верхней сублиторали, бухта Новик (остров Русский). К верхней створке прикреплены водоросли *Codium* sp.
Foto И.Е. Волченко.



Фототаблица 15 **Plate 15**

Семейство **Pectinidae** Wilkes, 1810

Mizuhopecten yessoensis (Jay, 1857) – гребешок приморский
Длина раковины 170.0 мм.

Chlamys (Swiftopecten) swiftii (Bernardi, 1858) – гребешок Свифта
Длина раковины 90.6 мм.



Mizuhopecten yessoensis



Chlamys swiftii

Фототаблица 16 **Plate 16**

Семейство **Pectinidae** Wilkes, 1810

Mizuhopecten yessoensis (Jay, 1857) – **гребешок приморский (А)**

Живой моллюск на дне (верхняя створка «припорошена» песком). Залив Петра Великого. *Фото В.Б. Даркина.*

Chlamys (Swiftopecten) swiftii (Bernardi, 1858) – **гребешок Свифта (В)**

Живая молодая особь на дне (прикреплен биссусом). Залив Петра Великого. *Фото В.Б. Даркина.*

A



B



Фототаблица 17 **Plate 17**

Семейство **Pectinidae** Wilkes, 1810

Chlamys (Swiftopecten) swiftii (Bernardi, 1858) – **гребешок Свифта (А)**
Живая молодая особь на дне (прикреплен биссусом). Залив Петра Великого.
Фото А.А. Омельяненко.

Mizuhopecten yessoensis (Jay, 1857) – **гребешок приморский (В)**
Живой моллюск на дне (верхняя створка «припорощена» песком). Залив
Петра Великого. *Фото А.А. Омельяненко.*



Фототаблица 18 **Plate 18**

Семейство **Thyasiridae** Dall, 1900

Conchocele scarlatoi Ivanova et Moskaletz, 1984 – **конхоцеле Скарлато**
Длина раковины 22.3 мм.

Axinopsida subquadrata (A. Adams, 1862) – **аксинопсида округло-угловатая**
Длина раковины 4.1 мм.

Mendicula ferruginosa (Forbes, 1844) – **мендикула ржавчинная**
Длина раковины 3.5 мм.

Семейство **Lucinidae** J. Fleming, 1828

Pillucina pisidium (Dunker, 1860) – **пиллюцина горошина**
Длина раковины 6.7 мм.

Семейство **Limidae** Rafinesques, 1815

Limatula (Limatula) subauriculata (Montagu, 1808) – **лиматула ушковидная**
Высота раковины 5.5 мм.

Семейство **Kelliellidae** P. Fischer, 1887

Alveinus ojianus (Yokoyama, 1927) – **алвеинус**
Длина раковины 1.9 мм.

Семейство **Lasaeidae** Gray, 1842

Kellia japonica Pilsbry, 1895 – **келлия японская**
Длина раковины 13.0 мм.



Conchocele scarlatoi



Pillucina pisidium



Axinopsida subquadrata



Mendicula ferruginosa



Limatula subauriculata



Alveinus ojianus



Kellia japonica

Фототаблица 19 **Plate 19**

Семейство **Carditidae** Féruccac, 1822

Cyclocardia (Cyclocardia) rjabininae (Scarlato, 1955) – **циклокардия Рябининой**

Длина раковины 21.5 мм.

Cyclocardia (Crassicardia) crassidens (Broderip et Sowerby I, 1829) – **циклокардия толстозубая**

Длина раковины 39.7 мм.

Cyclocardia (Cyclocardia) isaotakii (Tiba, 1972) – **циклокардия Исао Таки**

Длина раковины 29.6 мм.

Miodontiscus annakensis (Oinomikado, 1938) – **миодонтискус аннакский**

Длина раковины 10.4 мм.



Cyclocardia rjabininae



Cyclocardia crassidens



Cyclocardia isaotakii



Miodontiscus annakensis

Фототаблица 20 **Plate 20**

Семейство **Astartidae** d'Orbigny, 1844

Astarte elliptica (T. Brown, 1827) – **астарта овальная**
Длина раковины 18.4 мм.

Astarte borealis (Schumacher, 1817) – **астарта бореальная**
Длина раковины 41.4 мм.

Astarte montagui (Dillwyn, 1817) – **астарта Монтагю**
Длина раковины 21.0 мм.

Семейство **Trapezidae** Lamy, 1920

Trapezium (Neotrapezium) liratum (Reeve, 1843) – **трапециум лировидный**
Длина раковины 28.5 мм.



Astarte elliptica



Astarte borealis



Astarte montagui



Trapezium liratum

Фототаблица 21 **Plate 21**

Семейство **Lasaeidae** Gray, 1842

Mysella planata (Krause, 1885) – **мизелла плоская**

Длина раковины 7.8 мм.

Mysella ventricosa Scarlato, 1981 – **мизелла вздутая**

Длина раковины 6.3 мм.

Nipponomyssella obesa Habe, 1960 – **ниппономизелла толстая**

Длина раковины 4.0 мм.



Mysella planata



Mysella ventricosa



Nipponomyssella obesa

Фототаблица 22 **Plate 22**

Семейство **Cardiidae** Lamarck, 1809

Serripes (Yagudinella) notabilis (Sowerby III, 1915) – **серрипес примечательный**

Длина раковины 51.9 мм.

Serripes (Serripes) laperousii (Deshayes, 1839) – **серрипес Лаперуза**

Длина раковины 125.9 мм.

Serripes (Serripes) groenlandicus (Mohr, 1796) – **серрипес гренландский**

Длина раковины 113.4 мм.



Serripes notabilis



Serripes laperousii



Serripes groenlandicus

Фототаблица 23 **Plate 23**

Семейство **Cardiidae** Lamarck, 1809

Clinocardium (Ciliatocardium) ciliatum (Fabricius, 1790) – **сердцевидка реснитчатая**

Длина раковины 70.0 мм.

Clinocardium (Ciliatocardium) likharevi Kafanov in Scarlato, 1981 – **сердцевидка Лихарева**

Длина раковины 47.6 мм.

Clinocardium (Keenocardium) californiense (Deshayes, 1839) – **сердцевидка калифорнийская**

Длина раковины 58.7 мм.



Clinocardium ciliatum



Clinocardium likharevi



Clinocardium californiense

Фототаблица 24 **Plate 24**

Семейство **Mactridae** Lamarck, 1809

Mactra (Mactra) chinensis Philippi, 1846 – **мактра полосатая (китайская)**
Длина раковины 54.0 мм.

Mactra (Mactra) quadrangularis Deshayes in Reeve, 1854 – **мактра четырехугольная**
Длина раковины 42.5 мм.

Spisula (Pseudocardium) sachalinensis (Schrenck, 1861) – **спизула сахалинская (белая ракушка)**
Длина раковины 119.2 мм.



Mactra chinensis



Mactra quadrangularis



Spisula sachalinensis

Фототаблица 25 **Plate 25**

Семейство **Mactridae** Lamarck, 1809

Mactromeris polynyma (Stimpson, 1860) – **мактромерис изменчивый**
Длина раковины 62.1 мм.

Raeta (Raetellops) pulchella (Adams et Reeve, 1850) – **рэта красивая**
Длина раковины 18.9 мм.

Семейство **Semelidae** Stoliczka, 1870

Theora (Endopleura) lubrica A.A. Gould, 1861 – **теора гладкая**
Длина раковины 6.8 мм.

Семейство **Tellinidae** Blainville, 1814

Cadella lubrica (Gould, 1861) – **каделла гладкая**
Длина раковины 15.5 мм.

Macoma (Macoma) balthica (L., 1758) s.l. – **макома балтийская**
Длина раковины 21.6 мм.



Mactromeris polynyma



Raeta pulchella



Theora lubrica



Cadella lubrica



Macoma balthica

Фототаблица 26 **Plate 26**

Семейство **Tellinidae** Blainville, 1814

Megangulus luteus (Wood, 1828) – **мегангуллюс желтоватый**
Длина раковины 103.3 мм.

Megangulus venulosus (Schrenck, 1861) – **мегангуллюс жилковатый**
Длина раковины 64.9 мм.

Megangulus zyonoensis (Hatai et Nisiyama, 1939) – **мегангуллюс зиноенский**
Длина раковины 88.1 мм.



Megangulus luteus



Megangulus venulosus



Megangulus zyonoensis

Фототаблица 27 **Plate 27**

Семейство **Tellinidae** Blainville, 1814

Macoma (Heteromacoma) irus (Hanley, 1844) – **макома морщинистая**
Длина раковины 42.1 мм.

Macoma (Macoma) lama Bartsch, 1929 – **макома болотная**
Длина раковины 47.4 мм.

Macoma (Rexithaerus) hokkaidoensis Amano et Lutaenko in Amano, Lutaenko et Matsubara, 1999 – **макома хоккайдская**
Длина раковины 56.4 мм.



Macoma irus



Macoma lama



Macoma hokkaidoensis

Фототаблица 28 **Plate 28**

Семейство **Tellinidae** Blainville, 1814

Macoma (Macoma) scarlatoi Kafanov et Lutaenko, 1997 – **макома Скарлато**
Длина раковины 55.8 мм.

Macoma (Macoma) tokyoensis Makiyama, 1927 – **макома токийская**
Длина раковины 40.5 мм.

Macoma (Macoma) contabulata (Deshayes, 1854) – **макома плоская**
Длина раковины 75.2 мм.

Macoma (Macoma) loveni (Jensen, 1905) – **макома Ловена**
Длина раковины 12.8 мм.



Macoma scarlatoi



Macoma tokyoensis



Macoma contabulata



Macoma loveni

Фототаблица 29 **Plate 29**

Семейство **Tellinidae** Blainville, 1814

Macoma (Macoma) nipponica (Tokunaga, 1906) – **макома японская**
Длина раковины 18.8 мм.

Macoma (Macoma) middendorffii Dall, 1884 – **макома Миддендорфа**
Длина раковины 44.8 мм.

Macoma (Macoma) incongrua (Martens, 1865) – **макома неправильная**
Длина раковины 26.0 мм.



Macoma nipponica



Macoma middendorffii



Macoma incongrua

Фототаблица 30 **Plate 30**

Семейство **Tellinidae** Blainville, 1814

Macoma (Macoma) moesta (Deshayes, 1855) – **макома северная**
Длина раковины 15.7 мм.

Macoma (Macoma) coani Kafanov et Lutaenko, 1999 – **макома Коэна**
Длина раковины 37.1 мм.

Macoma (Macoma) calcarea (Gmelin, 1791) – **макома известковая**
Длина раковины 46.0 мм.



Macoma moesta



Macoma coani



Macoma calcarea

Фототаблица 31 **Plate 31**

Семейство **Psammobiidae** Fleming, 1828

Gari (Gobraeus) kazusensis (Yokoyama, 1922) – **гари кадзусский**
Длина раковины 53.5 мм.

Nuttallia petri (Bartsch, 1929) – **нутталлия Петра**
Длина раковины 112.1 мм.

Nuttallia obscurata (Reeve, 1857) – **нутталлия темная**
Длина раковины 37.0 мм.

Nuttallia ezonis Kuroda et Habe in Habe, 1955 – **нутталлия хоккайдская**
Длина раковины 49.0 мм.



Gari kazusensis



Nuttallia petri



Nuttallia obscurata



Nuttallia ezonis



Фототаблица 32 **Plate 32**

Семейство **Ungulinidae** Gray, 1854

Felaniella ohtai Kase et Miyauchi in Kase, Miyauchi et Amano, 1996 – **феланиелла Оты**

Длина раковины 30.8 мм.

Felaniella usta (Gould, 1861) – **феланиелла угольная**

Длина раковины 23.3 мм.

Diplodonta semiasperoides Nomura, 1932 – **диплодонта полушаровидная**

Длина раковины 27.3 мм.



Felaniella ohtai



Felaniella usta



Diplodonta semiasperoides

Фототаблица 33 **Plate 33**

Семейство **Veneridae** Rafinesque, 1815

Protothaca (Protocallithaca) adamsii (Reeve, 1863) – **прототака Адамса**
Длина раковины 70.8 мм.

Protothaca (Protothaca) euglypta (Sowerby III, 1914) – **прототака тонкосетчатая**
Длина раковины 44.2 мм.

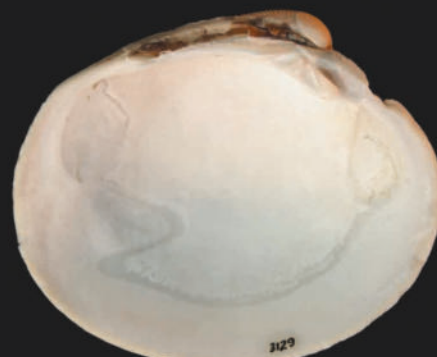
Protothaca (Novathaca) jedoensis (Lischke, 1874) – **прототака крупносетчатая (токийская)**
Длина раковины 45.8 мм.



Protothaca adamsii



Protothaca euglypta



Protothaca jedoensis

Фототаблица 34 **Plate 34**

Семейство **Veneridae** Rafinesque, 1815

Callista (Ezocallista) brevisiphonata (Carpenter, 1864) – **каллиста короткосифонная**

Длина раковины 106.2 мм.

Saxidomus purpurata (Sowerby II, 1852) – **саксидомус фиолетовый**

Длина раковины 106.1 мм.

Ruditapes philippinarum (A. Adams et Reeve, 1850) – **рудитапес филиппинский (японский петушок)**

Длина раковины 45.9 мм.

Gomphina multifaria (Kong, Matsukuma et Lutaenko in Kong, Matsukuma, Hayashi, Takada et Li, 2012) – **гомфина изменчивая**

Длина раковины 48.8 мм.



Callista brevisiphonata



Saxidomus purpurata



Ruditapes philippinarum



Gomphina multifaria

Фототаблица 35 **Plate 35**

Семейство **Veneridae** Rafinesque, 1815

Liocyma fluctuosum (A.A. Gould, 1841) – лиоцима изменчивая
Длина раковины 32.0 мм.

Turtonia minuta (Fabricius, 1780) – туртония маленькая
Длина раковины 3.1 мм.

Семейство **Corbulidae** Lamarck, 1818

Anisocorbula venusta (Gould, 1861) – аизокорбула изящная
Длина раковины 7.4 мм.

Potamocorbula amurensis (Schrenck, 1861) – потамокорбула амурская
Длина раковины 24,7 мм.

Семейство **Cyrenidae** Gray, 1847

Corbicula japonica Prime, 1864 – корбикула японская
Длина раковины 33.0 мм.



Liocyma fluctuosum



Turtonia minuta



Anisocorbula venusta



Potamocorbula amurensis



Corbicula japonica

Фототаблица 36 **Plate 36**

Семейство **Veneridae** Rafinesque, 1815

Dosinia (Dosinella) penicillata (Reeve, 1850) – **дозиния щеточная**
Длина раковины 48,0 мм.

Dosinia (Phacosoma) japonica (Reeve, 1850) – **дозиния японская**
Длина раковины 51,6 мм.

Mercenaria stimpsoni (Gould, 1861) – **мерценария Стимпсона**
Длина раковины 83,8 мм.



Dosinia penicillata



Dosinia japonica



Merenaria stimpsoni

Фототаблица 37 **Plate 37**

Семейство **Pandoridae** Rafinesque, 1815

Pandora (Heteroclidus) pulchella Yokoyama, 1926 – **пандора красивая**
Длина раковины 52.4 мм.

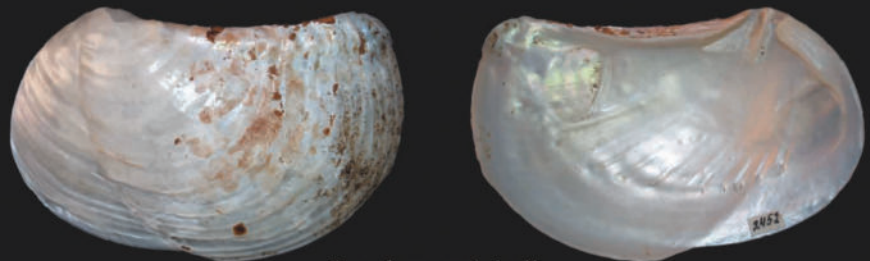
Pandora (Pandorella) wardiana A. Adams, 1860 – **пандора Уорда**
Длина раковины 47.4 мм.

Семейство **Laternulidae** Hedley, 1818

Laternula (Exolaternula) marilina (Reeve, 1860) – **латернула хрупкая**
Длина раковины 51.2 мм.

Семейство **Myidae** Lamarck, 1809

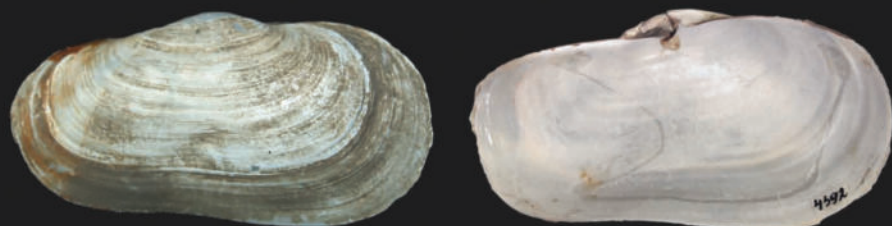
Cryptomya busoensis (Yokoyama, 1922) – **криптомия**
Длина раковины 12.1 мм.



Pandora pulchella



Pandora wardiana



Laternula marilina



Cryptomya busoensis

Фототаблица 38 **Plate 38**

Семейство **Myidae** Lamarck, 1809

Mya (Arenomya) japonica Jay, 1857 – **мия японская**

Длина раковины 112.3 мм.

Mya (Mya) truncata L., 1758 – **мия усеченная**

Длина раковины 68.2 мм.

Mya (Mya) uzenensis Nomura et Zinbo, 1937 – **мия бореальная**

Длина раковины 75.1 мм.



Mya japonica



Mya truncata



Mya uzenensis

Фототаблица 39 **Plate 39**

Семейство **Myidae** Lamarck, 1809

Mya (Arenomya) japonica Jay, 1857 – **мия японская**

Живая особь, вид со спинной стороны (**A**) и вид с брюшной стороны (**B**).
Хорошо виден не втянутый сифон. Залив Петра Великого. *Фото И.Е. Волченко.*



Фототаблица 40 **Plate 40**

Семейство **Pholadidae** Lamarck, 1809

Barnea (Umitakea) japonica (Yokoyama, 1920) – **барнея японская**

Длина раковины 48.3 мм (верхнее изображение); нижнее изображение – фиксированный экземпляр с сифоном, длина раковины около 70 мм, длина моллюска с сифоном – около 210 мм.

Penitella gabii (Tryon, 1863) – **пенителла Габба**

Длина раковин 69.8 мм (слева), 55.9 мм (справа).



Barnea japonica



Penitella gabbii



Фототаблица 41 **Plate 41**

Семейство **Pholadidae** Lamarck, 1809

Barnea (Anchomasa) manilensis (Philippi, 1847) – **барнея манильская**
Длина раковины 48.2 мм.

Семейство **Teredinidae** Rafinesque, 1815

Bankia (Bankia) setacea (Tryon, 1863) – **банкия щетинконосная**
Длина раковины 5.0 мм.

Teredo navalis L., 1758 – **тередо морской (корабельный червь)**

Длина раковины 5.0 мм (изображение слева внизу, также видно червеобразное тело моллюска). На изображении слева вверху – рисунок двух створок раковины и палетки (ниже створок) (парная известковая пластинка, развитая у основания сифона) (по Скарлато [1981]). На изображении справа – кусок древесины с ходами, просверленными моллюсками.



Barnea manilensis



Bankia setacea



Teredo navalis

Фототаблица 42 **Plate 42**

Семейство **Hiatellidae** Gray, 1824

Panomya nipponica Nomura et Hatai, 1935 – **паномия японская**
Длина раковины 53.3 мм.

Panomya ampla Dall, 1898 – **паномия широкая**
Длина раковины 61.3 мм.

Panomya norvegica (Spengler, 1793) – **паномия норвежская (арктическая)**
Длина раковины 64.8 мм.

Panopea japonica A. Adams, 1850 – **панопея японская**
Длина раковины 100.7 мм.



Panomya nipponica



Panomya ampla



Panomya norvegica



Panopea japonica

Фототаблица 43 **Plate 43**

Семейство **Hiatellidae** Gray, 1824

Panomya ampla Dall, 1898 – паномия широкая

Фиксированный экземпляр с сифоном. Длина раковины 81.0 мм, длина моллюска с сифоном 155.0 мм. *Фото И.Е. Волченко.*



Фототаблица 44 **Plate 44**

Семейство **Hiatellidae** Gray, 1824

Hiatella arctica (L., 1767) s.l. – хиателла арктическая
Длина раковины 21.5 мм.

Семейство **Solenidae** Lamarck, 1809

Solen (Solen) strictus Gould, 1861 – солен (черенок) узкий
Длина раковины 97.2 мм.

Solen (Ensisolen) krusensterni Schrenck, 1867 – солен (черенок) Крузенштерна
Длина раковины 79.2 мм.



Hiatella arctica



Solen strictus



Solen krusensterni

Фототаблица 45 **Plate 45**

Семейство **Lyonsiidae** P. Fischer, 1887

Entodesma navicula (A. Adams et Reeve, 1850) – энтодесма лодочка
Длина раковины 47.0 мм.

Lyonsia vniroi Scarlato, 1981 – лионзия ВНИРО
Длина раковины 39.7 мм.

Lyonsia arenosa (Möller, 1842) – лионзия песчаная
Длина раковины 14.6 мм.

Lyonsia nuculaniformis Scarlato in Volova et Scarlato, 1980 – лионзия нукулановидная
Длина раковины 21.4 мм.



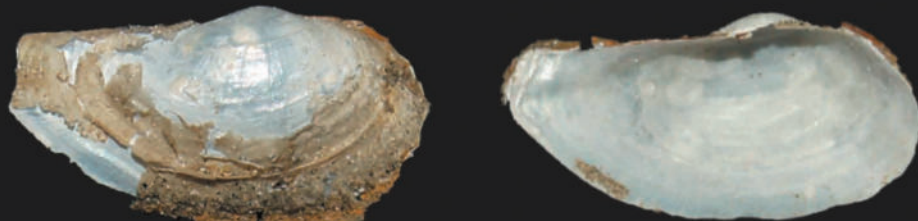
Entodesma navicula



Lyonsia vniroi



Lyonsia arenosa



Lyonsia nuculanoformis

Фототаблица 46 **Plate 46**

Семейство **Pharidae** H. Adams et A. Adams, 1856

Siliqua alta (Broderip et Sowerby I, 1829) – **силиква высокая**
Длина раковины 61.0 мм.

Семейство **Thraciidae** Stoliczka, 1870

Thracia (Crassithracia) septentrionalis Jeffreys, 1872 – **тракция северная**
Длина раковины 24.9 мм.

Thracia (Homoeodesma) itoi Habe, 1961 – **тракция Ито**
Длина раковины 43.9 мм.



Siliqua alta



Thracia septentrionalis



Thracia itoi

Фототаблица 47 **Plate 47**

Семейство **Thraciidae** Stoliczka, 1870

Thracia (Thracia) myopsis Möller, 1842 – **трация**
Длина раковины 28.1 мм.

Thracia (Homoeodesma) kakumana (Yokoyama, 1927) – **трация какумская**
Длина раковины 109.4 мм.

Семейство **Cuspidariidae** Dall, 1886

Cardiomya behringensis (Leche, 1883) – **кардиомия берингийская**
Длина раковины 20.9 мм.



Thracia myopsis



Thracia kakumana



Cardiomya behringensis

Список использованной литературы

- Бирюлин Г.М., Бирюлина М.Г., Микулич Л.В., Якунин Л.П.** 1970. Летние модификации залива Петра Великого // Труды Дальневосточного научно-исследовательского гидрометеорологического института. Вып. 30. С. 286–299.
- Васильев Б.И., Марков Ю.Д.** 1974. Рельеф и донные отложения Амурского залива // Вопросы геологии и геофизики окраинных морей северо-западной части Тихого океана. Владивосток: ДВНЦ АН СССР. С. 98–113.
- Волова Г.Н., Скарлато О.А.** 1980. Двустворчатые моллюски залива Петра Великого. Владивосток: Дальневосточное книжное изд-во. 95 с.
- Вышкварцев Д.И.** 1984. Физико-географическая и гидрохимическая характеристики мелководных бухт залива Посыета // Гидробиологические исследования заливов и бухт Приморья. Владивосток: ДВНЦ АН СССР. С. 4–11.
- Голиков А.Н., Скарлато О.А.** 1967. Моллюски залива Посыет (Японское море) и их экология // Труды Зоологического института АН СССР. Т. 42. С. 5–154.
- Евсеев Г.А.** 1981. Сообщества двустворчатых моллюсков в послеледниковых отложениях шельфа Японского моря. М.: Наука. 160 с.
- Евсеев Г.А., Яковлев Ю.М.** 2006. Двустворчатые моллюски дальневосточных морей России. Владивосток: Поликон. 120 с.
- Иванов А.В., Стрелков А.А.** 1949. Промысловые беспозвоночные дальневосточных морей. Описание строения и атлас анатомии. Владивосток: ТИНРО. 102 с.
- Иващенко Э.А.** 1993. Циркуляция вод залива Петра Великого // Географические исследования шельфа дальневосточных морей. Владивосток: Изд-во ДВГУ. С. 31–61.
- Кантор Ю.И., Сысоев А.В.** 2005. Каталог моллюсков России и сопредельных стран. Москва: КМК. 627 с.
- Калашников В.З.** 1984. Влияние ветрового нагона тайфуна «Эллис» на популяцию приморского гребешка *Patinopecten yessoensis* в заливе Посыет Японского моря // Биология моря. № 1. С. 55–59.
- Кафанов А.И.** 1991. Двустворчатые моллюски и фаунистическая биогеография северной Пацифики. Владивосток: ДВО АН СССР. 195 с.
- Климова В.Л.** 1984. Макрозообентос Дальневосточного морского заповедника // Животный мир Дальневосточного морского заповедника. Владивосток: ДВНЦ АН СССР. С. 4–29.
- Козубенко Е.А., Иванова Д.С.** 2013. Танатобиота песчаных пляжей залива Восток Японского моря // Актуальные проблемы биологических наук: Материалы I Межрегиональной молодежной школы-конференции, 13–18 мая 2013 г., Школа естественных наук ДВФУ. Владивосток: Изд-во «Русский остров». С. 118–122.
- Колпаков Е.В., Соколенко Д.А.** 2016. Об ареале *Lyonsia uniroi* Scarlato, 1981 (Bivalvia: Lyonsiidae) // Бюллетень Дальневосточного малакологического общества. Вып. 20, № 1. С. 97–102.
- Ластовецкий Е.И.** 1978. Климатические особенности омывающих морей // Климат Владивостока. Л.: Гидрометеоиздат. С. 155–162.
- Ластовецкий Е.И., Якунин Л.П.** 1981. Гидрометеорологическая характеристика Дальневосточного государственного морского заповедника // Цветковые растения островов Дальневосточного морского заповедника. Владивосток: ДВНЦ АН СССР. С. 18–33.

Список использованной литературы

- Лихт Ф.Р., Астахов А.С., Боцул А.И., Деркачев А.Н., Дударев О.В., Марков Ю.Д., Уткин И.В.** 1983. Структура осадков и фации Японского моря. Владивосток: ДВНЦ АН СССР. 287 с.
- Лутаенко К.А.** 1988. Раковины моллюсков в голоценовых отложениях на побережье вершинной части Уссурийского залива Японского моря // Биология моря. № 6. С. 65–67.
- Лутаенко К.А.** 1990. Двустворчатые моллюски в береговых выбросах залива Петра Великого (Японское море). Владивосток: Ин-т биол. моря ДВО АН СССР. Препринт № 28. 51 с.
- Лутаенко К.А.** 1991. О происхождении тепловодных элементов малакофауны залива Петра Великого Японского моря // Биология моря. № 1. С. 12–20.
- Лутаенко К.А.** 1999. Ожидаемые фаунистические изменения в бассейне Японского моря: влияние климата и уровня моря на распределение двустворчатых моллюсков // Бюллетень Дальневосточного малакологического общества. Вып. 3. С. 38–64.
- Лутаенко К.А.** 2002. Фауна двустворчатых моллюсков Амурского залива (Японское море) и прилегающих районов. Часть 1. Семейства Nuculidae – Cardiidae // Бюллетень Дальневосточного малакологического общества. Вып. 6. С. 5–60.
- Лутаенко К.А.** 2003. Фауна двустворчатых моллюсков Амурского залива (Японское море) и прилегающих районов. Часть 2. Семейства Trapezidae – Periplomatidae. Экологобиогеографическая характеристика // Бюллетень Дальневосточного малакологического общества. Вып. 7. С. 5–84.
- Мануйлов В.А.** 1990. Подводные ландшафты залива Петра Великого. Владивосток: Изд-во ДВГУ. 168 с.
- Орбов В.В.** 1987. Гидродинамика донных ландшафтов шельфа южного Приморья // Донные ландшафты Японского моря. Владивосток: ДВО АН СССР. С. 95–113.
- Петренко В.С.** 1989. Литология мелководного шельфа северо-западной части Японского моря // Геологические и географические особенности некоторых регионов Дальнего Востока и зоны перехода к Тихому океану. Владивосток: ДВПИ. С. 106–114.
- Петренко В.С.** 1990. Геоморфологическое районирование риасового побережья Приморья // Региональные и локальные аспекты экзогенного рельефообразования на Дальнем Востоке. Владивосток: ДВО АН СССР. С. 101–109.
- Петренко В.С., Шуйский Ю.Д., Мануйлов В.А.** 1982. Современные осадки бухт южного Приморья // Современное осадконакопление и четвертичный морфолитогенез Дальнего Востока. Владивосток: ДВНЦ АН СССР. С. 154–164.
- Подорванова Н.Ф., Ивашинникова Т.С., Петренко В.С., Хомичук Л.С.** 1989. Основные черты гидрохимии залива Петра Великого (Японское море). Владивосток: ДВО АН СССР. 201 с.
- Раков В.А., Кучерявенко А.В.** 1977. Влияние тайфуна «Фрэн» на донную фауну залива Посыета (Японское море) // Исследования по биологии рыб и промысловой океанографии (Владивосток). Т. 8. С. 22–25.
- Скарлато О.А.** 1981. Двустворчатые моллюски умеренных широт западной части Тихого океана // Определители по фауне СССР, издаваемые Зоологическим институтом АН СССР. Вып. 126. С. 1–479.
- Степанов В.В.** 1976. Характеристика температуры и солености вод залива Восток Японского моря // Биологические исследования залива Восток. Владивосток: ДВНЦ АН СССР. С. 12–22.

Список использованной литературы

- Якунин Л.П.** 1990. Особенности гидрологии Японского моря. Лед // Физическая география Приморского края. Владивосток: Изд-во ДВГУ. С. 86–89.
- Bouchet P.** 2006. The magnitude of marine biodiversity // C.M. Duarte (Ed.). The Exploration of Marine Biodiversity. Scientific and Technological Challenges. Madrid: Fundación BBVA. P. 33–64.
- Carter J.G., Harries P.J., Malchus N. et al.** 2012. Part N, Revised, Volume 1, Chapter 31: Illustrated Glossary of the Bivalvia // Treatise Online. N 48. P. 1–209.
- Graf D.L.** 2013. Patterns of freshwater bivalve global diversity and the state of phylogenetic studies on the Unionoidea, Sphaeriidae, and Cyrenidae // American Malacological Bulletin. V. 31, N 1. P. 135–153.
- Kantor Yu.I., Sysoev A.V.** 2005. A preliminary analysis of biodiversity of molluscs of Russia and adjacent territories // Ruthenica (Russian Malacological Journal). V. 14, N 2. P. 107–118.
- Lutaenko K.A.** 1999. Additional data on the fauna of bivalve mollusks of the Russian continental coast of the Sea of Japan: middle Primorye and Nakhodka Bay // Publications of the Seto Marine Biological Laboratory. V. 38. N 5/6. P. 255–286.
- Lutaenko K.A.** 2005. Bivalve mollusks of Ussuriysky Bay (Sea of Japan). Part 1 // Bulletin of the Russian Far East Malacological Society. V. 9. P. 59–81.
- Lutaenko K.A.** 2006. Bivalve mollusks of Ussuriysky Bay (Sea of Japan). Part 2 // Bulletin of the Russian Far East Malacological Society. V. 10. P. 46–66.
- Lutaenko K.A., Noseworthy R.G.** 2012. Catalogue of the Living Bivalvia of the Continental Coast of the Sea of Japan (East Sea). Vladivostok: Dalnauka. 247 p.
- Lutaenko K.A., Noseworthy R.G.** 2014. Biodiversity and biogeographical patterns of bivalve mollusks in the Sea of Japan // S. Sun, A.V. Adrianov, K.A. Lutaenko, X. Sun (Eds.). Marine Biodiversity and Ecosystem Dynamics of the North-Western Pacific Ocean. Beijing: Science Press. P. 160–188.
- Takebayashi Y., Wada T.** 2010. Mollusks drifted on the sandy beaches in eastern part of Tottori Prefecture, Honshu, Japan: with online publication of the web book // Bulletin of the Tottori Prefectural Museum. N 47. P. 7–25.

Использованные музейные коллекции для изготовления фотографий моллюсков

Фототаблица 1: *Acila insignis* (XII 10698/Bv-965); *Nucula tenuis* (XII 41873/Bv-6280); *Nuculan sadoensis* (XII 20810/Bv-3365); *Yoldia bartschi* (Музей ННЦМБ 2181 (28014)).

Фототаблица 2: *Yoldia seminuda* (XII 43083/Bv-6373); *Yoldia keppeliana* (XII 43792/Bv-6875); *Portlandia lischkei* (XII 32957/Bv-5076); *Megayoldia thraciaeformis* (XII 17328/Bv-2387); *Yoldiella derjugini* (Музей ННЦМБ НВФ 1442).

Фототаблица 3: *Arca boucardi* (XII 16100/Bv-2151); *Anadara broughtonii* (XII 22659/Bv-3608); *Glycymeris yessoensis* (XII 10855/Bv-1088).

Фототаблица 5: *Mytilus galloprovincialis* (XII 9813/Bv-400); *Mytilus trossulus* (XII 9788/Bv-385).

Фототаблица 6: *Mytilus coruscus* (XII 28552/Bv-4859); *Crenomytilus grayanus* (XII 28554/Bv-4861).

Фототаблица 7: *Arcuatula senhousia* (XII 38456/Bv-5821); *Musculus niger* (Музей ННЦМБ 1794); *Musculus niger* juv. (XII 43265/Bv-6522); *Musculus koreanus* (XII 20389/Bv-3230).

Фототаблица 8: *Musculus laevigatus* (XII 37633/Bv-5441); *Musculus discors* (XII 43323/Bv-6565); *Musculus glacialis* (XII 41849/Bv-6263); *Vilasina pillula* (XII 41863/Bv-6270); *Crenella decussata* (XII 37966/Bv-5643).

Фототаблица 9: *Modiolus kurilensis* (XII 28553/Bv-4860); *Adula falcatoides* (Музей ННЦМБ 895); *Septifer keenae* (XII 17879/Bv-2478).

Фототаблица 10: *Crassostrea gigas* (XII 43999/Bv-6936).

Фототаблица 12: *Pododesmus macrochisma* (XII 19377/Bv-2848); *Delectopecten randolphi* (XII 30035/Bv-4994); *Parvamussium alaskense* (XII 20951/Bv-3382).

Фототаблица 13: *Chlamys rosealba* (XII ЖП 30/2010); *Chlamys farreri* (XII ЖП 14/2016)

Фототаблица 15: *Mizuhopecten yessoensis* (XII ЖП 103/1998); *Chlamys swiftii* (XII 10258/Bv-647).

Фототаблица 18: *Conchocele scarlattoi* (XII 10845/Bv-1082); *Pillucina pisidium* (Музей ННЦМБ 234); *Axinopsida subquadrata* (Музей ННЦМБ 4816); *Mendicula ferruginea* (Музей ННЦМБ 27971); *Limatula subauriculata* (Музей ННЦМБ 1109); *Alveinus ojianus* (XII 27786/Bv-4705); *Kellia japonica* (XII 19665/Bv-2958).

Фототаблица 19: *Cyclocardia rjabininae* (XII 19367/Bv-2838); *Cyclocardia crassidens* (XII 27511/Bv-4577); *Cyclocardia isaotakii* (Музей ННЦМБ 2700); *Miodontiscus annakenensis* (Музей ННЦМБ 2569).

Фототаблица 20: *Astarte elliptica* (XII 44944/Bv-7142); *Astarte borealis* (XII 22985/Bv-3720); *Astarte montagui* (XII 18313/Bv-2535); *Trapezium liratum* (XII 37351/Bv-5397).

Фототаблица 21: *Mysella planata* (XII 41859/Bv-6266); *Mysella ventricosa* (Музей ННЦМБ 4352); *Nipponomyssella obesa* (XII 11068/Bv-1199).

Фототаблица 22: *Serripes notabilis* (XII 44893/Bv-7101); *Serripes laperousii* (XII 44887/Bv-7098); *Serripes groenlandicus* (XII 16575/Bv-2269).

Фототаблица 23: *Clinocardium ciliatum* (XII 20950/Bv-3381); *Ciliatocardium likharevi* (XII 18326/Bv-2547); *Clinocardium californiense* (XII 9148/Bv-144).

Фототаблица 24: *Mactra chinensis* (XII 20382/Bv-3223); *Mactra quadrangularis* (XII 10399/Bv-756); *Spisula sachalinensis* (XII 27495/Bv-4563).

Фототаблица 25: *Mactromeris polynyma* (XII 27494/Bv-4562); *Raeta pulchella* (XII 9110/Bv-106); *Theora lubrica* (Музей ННЦМБ 313); *Cadella lubrica* (XII 9340/Bv-236); *Macoma balthica* (XII 20652/Bv-3333).

Фототаблица 26: *Megangulus luteus* (XII 44867/Bv-7078); *Megangulus venulosus* (XII 27934/Bv-4793); *Megangulus zyonoensis* (XII 20782/Bv-3353).

Фототаблица 27: *Macoma irus* (XII 20386/Bv-3227); *Macoma lama* (XII 33529/Bv-5199); *Macoma hokkaidoensis* (XII 10003/Bv-474).

Фототаблица 28: *Macoma scarlatoi* (XII 17324/Bv-2383); *Macoma tokyoensis* (XII 9310/Bv-206); *Macoma contabulata* (XII 22655/Bv-3606); *Macoma loveni* (XII 19438/Bv-2904).

Фототаблица 29: *Macoma nipponica* (XII 9345/Bv-241); *Macoma middendorffii* (XII 11589/Bv-1483); *Macoma incongrua* (XII 21072/Bv-3433).

Фототаблица 30: *Macoma moesta* (Музей ННЦМБ 1442); *Macoma coani* (XII 27696/Bv-4647); *Macoma calcarea* (XII 22983/Bv-3718).

Фототаблица 31: *Gari kazusensis* (XII 27582/Bv-4624); *Nuttallia petri* (XII 44885/Bv-7096); *Nuttallia obscurata* (XII 10166/Bv-596); *Nuttallia ezonis* (XII 10402/Bv-759).

Фототаблица 32: *Felaniella ohtai* (XII 22662/Bv-3611); *Felaniella usta* (XII 15587/Bv-2033); *Diplodonta semiasperoides* (XII 23314/Bv-3789).

Фототаблица 33: *Protothaca adamsii* (XII 14376/Bv-1825); *Protothaca euglypta* (XII 20230/Bv-3130); *Protothaca jedoensis* (XII 20229/Bv-3129).

Использованные музейные коллекции

Фототаблица 34: *Callista brevisiphonata* (ХII 23293/Bv-3777); *Saxidomus purpurata* (ХII 10000/Bv-471); *Ruditapes philippinarum* (ХII 9547/Bv-344); *Gomphina multifaria* (Музей ННЦМБ 1955).

Фототаблица 35: *Liocyma fluctuosum* (ХII 33911/Bv-5221); *Turtonia minuta* (Музей ННЦМБ 21/2735); *Anisocorbula venusta* (ХII 10374/Bv-742); *Potamocorbula amurensis* (ХII 10371/Bv-739); *Corbicula japonica* (ХII 25834/Bv-4332).

Фототаблица 36: *Dosinia penicillata* (ХII 10325/Bv-702); *Dosinia japonica* (ХII 16222/Bv-2174); *Mercenaria stimpsoni* (ХII 18144/Bv-2495).

Фототаблица 37: *Pandora pulchella* (ХII 17684/Bv-2452); *Pandora wardiana* (ХII 19151/Bv-2709); *Laternula marilina* (ХII 26209/Bv-4392); *Cryptomya busoensis* (ХII 27811/Bv-4730).

Фототаблица 38: *Mya japonica* (ХII 23301/Bv-3785); *Mya truncata* (ХII 22981/Bv-3716); *Mya uzenensis* (ХII 10138/Bv-573).

Фототаблица 40: *Barnea japonica* (ХII 9353/Bv-249); *Barnea japonica* (Музей ННЦМБ НВФ 3435 (29311)); *Penitella gabii* (ХII 28054/Bv-4847, ХII 45166/Bv-7212).

Фототаблица 41: *Barnea manilensis* (ХII 9354/Bv-250); *Bankia setacea* (ХII 11761/Bv-1502); *Teredo navalis* (ХII 44023/Bv-6938).

Фототаблица 42: *Panomya nipponica* (ХII 27699/Bv-4650); *Panomya ampla* (ХII 10707/Bv-972); *Panomya norvegica* (ХII 8960/Bv-60); *Panopea japonica* (ХII 22665/Bv-3614).

Фототаблица 43: *Panomya ampla* (ХII 29260/Bv-4986).

Фототаблица 44: *Hiatella arctica* (ХII 19655/Bv-2948); *Solen strictus* (ХII 22660/Bv-3609); *Solen krusensterni* (ХII 8964/Bv-64).

Фототаблица 45: *Entodesma navicula* (ХII ЖП 22/2016); *Lyonsia vniroi* (ХII 45404/Bv-7278); *Lyonsia arenosa* (ХII 12948/Bv-1708); *Lyonsia nuculaniformis* (ХII 11402/Bv-1389).

Фототаблица 46: *Siliqua alta* (ХII 8977/Bv-78); *Thracia septentrionalis* (личная коллекция Е. В. Колпакова (ТИНРО-центр)); *Thracia itoi* (Музей ННЦМБ 2190).

Фототаблица 47: *Thracia myopsis* (Музей ННЦМБ 2181); *Thracia kakumana* (Музей ННЦМБ 3141); *Cardiomya behringensis* (Музей ННЦМБ 2181).

Примечание: номера, начинающиеся с ХII – Зоологический музей УНМ ДВФУ; Музей ННЦМБ – Музей Национального научного центра морской биологии ДВО РАН; НВФ – научно-вспомогательный фонд; ЖП – журнал поступлений.

Указатель видов

А

- Acila (Truncacila) insignis* (Gould, 1861): 133; фототабл. 1
Adula falcatooides Habe, 1955: 133; фототабл. 9
Alveinus ojianus (Yokoyama, 1927): 133; фототабл. 18
Anadara (Scapharca) broughtonii (Schrenck, 1867): 18, 22, 24, 133; фототабл. 3
Anisocorbula venusta (Gould, 1861): 135; фототабл. 35
Arca boucardi Jousseaume, 1894: 133; фототабл. 3, 4
Arcuatula senhousia (Benson in Cantor, 1842): 133; фототабл. 7
Astarte borealis (Schumacher, 1817): 134; фототабл. 20
Astarte elliptica (T. Brown, 1827): 29, 134; фототабл. 20
Astarte montagui (Dillwyn, 1817): 134; фототабл. 20
Axinopsisida subquadrata (A. Adams, 1862): 133; фототабл. 18

Б

- Bankia (Bankia) setacea* (Tryon, 1863): 135; фототабл. 41
Barnea (Umitakea) japonica (Yokoyama, 1920): 18, 135; фототабл. 40
Barnea (Anchomasa) manilensis (Philippi, 1847): 18, 29, 135; фототабл. 41

С

- Cadella lubrica* (Gould, 1861): 134; фототабл. 25
Callista (Ezocallista) brevisiphonata (Carpenter, 1864): 28, 135; фототабл. 34
Cardiomya behringensis (Leche, 1883): 135; фототабл. 47
Chlamys (Azumapecten) farreri (Jones et Preston, 1904): 18, 133; фототабл. 13, 14
Chlamys (Chlamys) rosealba Scarlato, 1981: 133; фототабл. 13
Chlamys (Swiftopecten) swiftii (Bernardi, 1858): 133; фототабл. 15, 16, 17
Chlamys sp.: 27

- Clinocardium (Keenocardium) californiense* (Deshayes, 1839): 21, 134; фототабл. 23
Clinocardium (Ciliatocardium) ciliatum (Fabricius, 1790): 134; фототабл. 23
Clinocardium (Ciliatocardium) likharevi Kafanov in Scarlato, 1981: 134; фототабл. 23
Conchocele scarlatoi Ivanova et Moskaletz, 1984: 133; фототабл. 18
Corbicula japonica Prime, 1864: 135; фототабл. 35
Crassostrea gigas (Thunberg, 1793): 22, 133; фототабл. 10, 11
Crenella decussata (Montagu, 1808): 133; фототабл. 8
Crenomytilus grayanus (Dunker, 1853): 22, 32, 133; фототабл. 6, 11
Cryptomyta busoensis (Yokoyama, 1922): 135; фототабл. 37
Cyclocardia (Crassicardia) crassidens (Broderip et Sowerby I, 1829): 134; фототабл. 19
Cyclocardia (Cyclocardia) isaotakii (Tiba, 1972): 134; фототабл. 19
Cyclocardia (Cyclocardia) rjabininae (Scarlato, 1955): 134; фототабл. 19

Д

- Delectopecten randolphi* (Dall, 1897): 133; фототабл. 12
Diplodonta semiasperoides Nomura, 1932: 134; фототабл. 32
Dosinia (Phacosoma) japonica (Reeve, 1850): 18, 29, 135; фототабл. 36
Dosinia (Dosinella) penicillata (Reeve, 1850): 18, 135; фототабл. 36

Е

- Entodesma navicula* (A. Adams et Reeve, 1850): 29, 135; фототабл. 45

Ф

- Felaniella ohtai* Kase et Miyauchi in Kase, Miyauchi et Amano, 1996: 134; фототабл. 32
Felaniella usta (Gould, 1861): 134; фототабл. 32

Указатель видов

G

Gari (Gobraeus) kazusensis (Yokoyama, 1922): 134; фототабл. 31

Glycymeris (Glycymeris) yessoensis (Sowerby III, 1889): 21, 29, 133; фототабл. 3

Gomphina multifaria (Kong, Matsukuma et Lutaenko in Kong, Matsukuma, Hayashi, Takada et Li, 2012): 18, 135; фототабл. 34

H

Hiatella arctica (L., 1767): 135; фототабл. 44

K

Kellia japonica Pilsbry, 1895: 133; фототабл. 18

L

Laternula (Exolaternula) marilina (Reeve, 1860): 18; фототабл. 37

Limatula (Limatula) subauriculata (Montagu, 1808): 133; фототабл. 18

Liocyma fluctuosum (A.A. Gould, 1841): 135; фототабл. 35

Lyonsia arenosa (Möller, 1842): 135; фототабл. 45

Lyonsia nuculaniformis Scarlato in Volova et Scarlato, 1980: 135; фототабл. 45

Lyonsia vniroi Scarlato, 1981: 130, 135; фототабл. 45

M

Macoma (Macoma) balthica (L., 1758): 134; фототабл. 25

Macoma (Macoma) calcarea (Gmelin, 1791): 134; фототабл. 30

Macoma (Macoma) coani Kafanov et Lutaenko, 1999: 134; фототабл. 30

Macoma (Macoma) contabulata (Deshayes, 1854): 134; фототабл. 28

Macoma (Rexithaerus) hokkaidoensis Amano et Lutaenko in Amano, Lutaenko et Matsubara, 1999: 134; фототабл. 27

Macoma (Macoma) incongrua (Martens, 1865): 134; фототабл. 29

Macoma (Heteromacoma) irus (Hanley, 1844): 18, 134; фототабл. 27

Macoma (Macoma) lama Bartsch, 1929: 134; фототабл. 27

Macoma (Macoma) loveni (Jensen, 1905): 134; фототабл. 28

Macoma (Macoma) middendorffii Dall, 1884: 134; фототабл. 29

Macoma (Macoma) moesta (Deshayes, 1855): 134; фототабл. 30

Macoma (Macoma) nipponica (Tokunaga, 1906): 18, 134; фототабл. 29

Macoma (Macoma) scarlatoi Kafanov et Lutaenko, 1997: 134; фототабл. 28

Macoma (Macoma) tokyoensis Makiyama, 1927: 18, 134; фототабл. 28

Mactra (Mactra) chinensis Philippi, 1846: 21, 134; фототабл. 24

Mactra (Mactra) quadrangularis Deshayes in Reeve, 1854: 18, 134; фототабл. 24

Mactromeris polynyma (Stimpson, 1860): 134; фототабл. 25

Megangulus luteus (Wood, 1828): 134; фототабл. 26

Megangulus venulosus (Schrenck, 1861): 134; фототабл. 26

Megangulus zyonoensis (Hatai et Nisiyama, 1939): 134; фототабл. 26

Megayoldia thraciaeformis (Storer, 1838): 133; фототабл. 2

Mendicula ferruginosa (Forbes, 1844): 133; фототабл. 18

Mercenaria stimpsoni (Gould, 1861): 135; фототабл. 36

Miodontiscus annakensis (Oinomikado, 1938): 134; фототабл. 19

Mizuhopecten yessoensis (Jay, 1857): 20, 31, 133; фототабл. 15, 16, 17

Modiolus (Modiolus) kurilensis Bernard, 1983: 133; фототабл. 9

Musculus discors (L., 1767): 133; фототабл. 8

Musculus glacialis (Leche, 1883): 133; фототабл. 8

Musculus koreanus Ockelmann, 1983: 133; фототабл. 7

Musculus laevigatus (Gray, 1824): 133; фототабл. 8

Musculus niger (Gray, 1824): 133; фототабл. 7

Mya (Arenomya) japonica Jay, 1857: 135; фототабл. 38, 39

Mya (Mya) truncata L., 1758: 135; фототабл. 38

Mya (Mya) uzenensis Nomura et Zinbo, 1937: 135; фототабл. 38

Указатель видов

Mysella planata (Krause, 1885): 134; фототабл. 21
Mysella ventricosa Scarlato, 1981: 134; фототабл. 21
Mytilus (Mytilus) coruscus Gould, 1861: 133; фототабл. 6
Mytilus (Mytilus) galloprovincialis Lamarck, 1819: 27, 133; фототабл. 5
Mytilus (Mytilus) trossulus A.A. Gould, 1850: 6, 29, 133; фототабл. 5

N

Nipponomysella obesa Habe, 1960: 18, 134; фототабл. 21
Nucula (Leionucula) tenuis (Montagu, 1808): 133; фототабл. 1
Nuculana (Nuculana) sadoensis (Yokoyama, 1926): 133; фототабл. 1
Nuttallia ezonis Kuroda et Habe in Habe, 1955: 134; фототабл. 31
Nuttallia obscurata (Reeve, 1857): 134; фототабл. 31
Nuttallia petri (Bartsch, 1929): 134; фототабл. 31

P

Pandora (Heteroclidus) pulchella: 135; фототабл. 37
Pandora (Pandorella) wardiana A. Adams, 1860: 135; фототабл. 37
Panomya ampla Dall, 1898: 135; фототабл. 42, 43
Panomya nipponica Nomura et Hatai, 1935: 135; фототабл. 42
Panomya norvegica (Spengler, 1793): 135; фототабл. 42
Panopea japonica A. Adams, 1850: 135; фототабл. 42
Parvamussium alaskense (Dall, 1871): 133; фототабл. 12
Patinopecten yessoensis (Jay, 1857): 130
Penitella gabbii (Tryon, 1863): 135; фототабл. 40
Pillucina pisidium (Dunker, 1860): 18, 133; фототабл. 18
Pododesmus (Monia) macrochisma (Deshayes, 1839): 133; фототабл. 12
Portlandia lischkei (Smith, 1885): 133; фототабл. 2

Potamocorbula amurensis (Schrenck, 1861): 135; фототабл. 35
Protothaca (Protocallithaca) adamsii (Reeve, 1863): 27; фототабл. 33
Protothaca (Protothaca) euglypta (Sowerby III, 1914): 134; фототабл. 33
Protothaca (Novathaca) jedoensis (Lischke, 1874): 134; фототабл. 33

R

Raeta (Raetellops) pulchella (Adams et Reeve, 1850): 18, 134; фототабл. 25
Ruditapes philippinarum (A. Adams et Reeve, 1850): 28, 135; фототабл. 34

S

Saxidomus purpurata (Sowerby II, 1852): 18, 135; фототабл. 34
Septifer (Mytilisepta) keenae Nomura, 1936: 133; фототабл. 9
Serripes (Serripes) groenlandicus (Mohr, 1796): 134; фототабл. 22
Serripes (Serripes) laperousii (Deshayes, 1839): 134; фототабл. 22
Serripes (Yagudinella) notabilis (Sowerby III, 1915): 134; фототабл. 22
Siliqua alta (Broderip et Sowerby I, 1829): 135; фототабл. 46
Solen (Ensisolen) krusensterni Schrenck, 1867: 29, 135; фототабл. 44
Solen (Solen) strictus Gould, 1861: 18, 135; фототабл. 44
Spisula (Pseudocardium) sachalinensis (Schrenck, 1861): 20, 22, 134; фототабл. 24

T

Teredo navalis L., 1758: 135; фототабл. 41
Theora (Endopleura) lubrica A.A. Gould, 1861: 18, 134; фототабл. 25
Thracia (Homoeodesma) itoi Habe, 1961: 135; фототабл. 46
Thracia (Homoeodesma) kakumana (Yokoyama, 1927): 135; фототабл. 47
Thracia (Thracia) myopsis Möller, 1842: 135; фототабл. 47
Thracia (Crassithracia) septentrionalis Jeffreys, 1872: 135; фототабл. 46

Указатель видов

Trapezium (Neotrapezium) liratum (Reeve, 1843): 18, 134; фототабл. 20

Turtonia minuta (Fabricius, 1780): 135; фототабл. 35

V

Vilasina pillula Scarlato, 1960: 133; фототабл. 8

Y

Yoldia (Yoldia) bartschi Scarlato, 1981: 133; фототабл. 1

Yoldia (Cnesterium) keppeliana: 133; фототабл. 2

Yoldia (Cnesterium) seminuda Dall, 1871: 29, 133; фототабл. 2

Yoldiella derjugini Scarlato, 1981: 133; фототабл. 2

**Лутаенко Константин Анатольевич,
Волвенко Ирина Евгеньевна**

**МАЛЫЙ АТЛАС
ДВУСТВОРЧАТЫХ МОЛЛЮСКОВ
ЗАЛИВА ПЕТРА ВЕЛИКОГО
(ЯПОНСКОЕ МОРЕ)**

**Lutaenko Konstantin A.,
Volvenko Irina E.**

**Atlas
of Common Bivalve Mollusks
of Peter the Great Bay
(Sea of Japan)**

Отпечатано с оригинал-макета, подготовленного
в Национальном научном центре морской биологии ДВО РАН,
минуя редподготовку

Оформление обложки *И.Е. Волвенко*

Подписано в печать 17.03.2017 г.
Формат 70×100 / 16. Усл. печ. л. 11,29.
Тираж 300 экз. Заказ 112.

Дальневосточный федеральный университет
690950, г. Владивосток, ул. Суханова, 8

Отпечатано в типографии
Дирекции публикационной деятельности ДВФУ
690990, г. Владивосток, ул. Пушкинская, 10